

امیرکبیر

نشریه علمی، پژوهشی

سال نهم / شماره ۳۶ / زمستان ۱۳۷۶

- محاسبه تعادلات فازی بخار- مایع با استفاده از روش جایگزینی متوالی شتاب یافته
- محاسبه مقاومت افزون قاب های خمی کوتاه بتن مسلح به روش تحلیل غیرخطی
- تأثیر شرایط نورد کنترل شده بر مقاومت به خستگی فولاد STE 500
- حل دقیق ارتعاشات عرضی تیر با سطح مقطع متغیر تحت بار محوری
- تنظیم خودکار پارامترهای مدل یادگیری Q با استفاده از اتماتون های یادگیر
- حل مدل دینامیکی غیرخطی مفاصل بدن انسان با روش معادلات دیفرانسیل اضافی و کمینه
- ارزیابی علل شکست ساختمان های بتن آرمه روستای اردکول منطقه زلزله زده قائنات
- کتابشناسی

تنظیم خودکار پارامترهای مدل یادگیری Q با استفاده از اتوماتون‌های یادگیر

سیامک حجت
دانشیار
کارشناسی ارشد

دانشکده مهندسی کامپیوتر، دانشگاه صنعتی امیرکبیر
۰۹۱۰۰۷۴۳۶۰۰۰

محمد رضا میدی
دانشیار

دانشکده مهندسی کامپیوتر، دانشگاه صنعتی امیرکبیر
۰۹۱۰۰۷۴۳۶۰۰۰

چکیده

در این مقاله یک رهیافت جدید برای تنظیم پارامترهای مدل‌های یادگیر تقویتی ارائه می‌شود. در این رهیافت یک یا چند مدل یادگیر ساده مسئول تنظیم پارامترهای یک مدل یادگیر پیچیده‌تر خواهد بود. در اینجا برای تشریح این رهیافت تنظیم پارامترهای یک مدل یادگیر به نام یادگیری Q و دسته‌بندی آماری بررسی می‌شود و با استفاده از مثال‌هایی نسبتاً ساده نتایج تنظیم خودکار پارامترهای این مدل مورد مطالعه قرار می‌گیرند. این نتایج نشان خواهند داد که:

(۱) مدل‌هایی که پارامترهای آنها تنظیم می‌شود می‌توانند در بسیاری موارد عملکرد بهتری نسبت به مدل‌هایی که پارامترهای آنها تنظیم نمی‌شود نشان دهند.

(۲) تنظیم خودکار پارامترها باعث افزایش انعطاف‌پذیری مدل‌ها می‌شود.

Automatic Tuning of Q-Learning Model Using Learning Automata

M. R. Meybodi
Associate Prof.

Siamak Hodjat
M. Sc.

Computer Eng. Dept. Amirkabir Univ. of Tech.

[3] Kurnikova, D. T., and S. V. Sosulin, "Tuning of Reinforcement Learning Agents by Using Tapered Canonical Clustering and Statistical Methods", *Journal of Sound and Vibration*, Vol. 299, No. 4, pp. 821-834, 2006.

Abstract

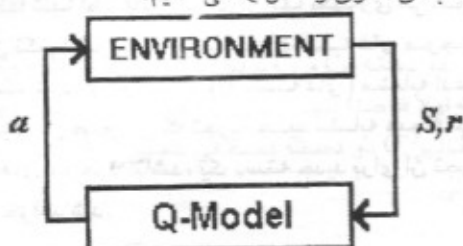
This paper describes a general approach for automatic tuning of reinforcement learning algorithms' parameters. In this approach a reinforcement learning agent's parameters are tuned by other more simple reinforcement learning algorithms. We will explain this approach by tuning the parameters of a Q-learning and statistical clustering algorithm. The results of tuning these parameters will be described by some simple examples. Comparing the result of an algorithm using automatically tuned parameters with an algorithm which uses fixed parameters will show that the former is generally more flexible and capable of performing better in most cases.

واژه‌های کلیدی

Reinforcement Learning, Q Learning, Learning Automata, Statistical Clustering

مقدمه

در یادگیری تقویتی [5] [6] یک یادگیرنده در هر لحظه از مجموعه فعالیت‌های ممکن فعالیتی را انتخاب کرده و در محیط اعمال می‌کند. با اعمال هر فعالیت پسخوری^۳ از محیط دریافت می‌شود (شکل ۱). هدف یادگیرنده یافتن یک استراتژی انتخاب فعالیت برای ماکریزم کردن پسخورهای دریافت شده از محیط در طول زمان است. یادگیری Q یک تکنیک برای انتشار پسخورهای بلافضله روی توالی فعالیت‌ها می‌دهد. این الگوریتم یادگیری معمولاً به همراه روش‌های دسته‌بندی آماری^۴ [16] استفاده می‌شود. در اینجا ای اختصار یادگیری Q با دسته‌بندی آماری را مدل Q می‌میم.



شکل (۱) رابطه مدل Q با محیط

در یادگیری Q از یک ساختمان داده به نام Q برای تخمین سودمندی اعمال فعالیت a در وضعیت حس شده استفاده می‌شود: $Q(S,a)$. ابتدا Q برای تمام فعالیت‌های a و وضعیت‌های S برابر با صفر فرض می‌شود. سپس با اعمال هر فعالیت a در وضعیت X و دریافت پسخور بلافضله r مقدار $Q(X, a)$ با فرمول زیر بهنگام می‌شود:

$$Q(X, a) \leftarrow Q(X, a) + \lambda (r + \gamma e(Y) - Q(X, a)) \quad (1)$$

در فرمول بالا Y وضعیت بعدی محیط (پس از اعمال فعالیت a در وضعیت X است) و (Y) سودمندی وضعیت Y می‌باشد که با فرمول زیر محاسبه می‌شود: m تعداد فعالیت‌هast

$$e(Y) \leftarrow \max_{i=1, 2, \dots, m} Q(Y, i) \quad (2)$$

پارامتر λ (0 ≤ λ ≤ 1) میزان اصلاح خطای برای Q تعیین می‌کند و پارامتر γ (0 ≤ γ ≤ 1) میزان صرفنظر کردن از سودمندی وضعیت نتیجه شده را مشخص

در بخش بعدی این مقاله مدل Q معرفی می‌شود. معرفی این مدل جهت آشنا شدن با نحوه کار و نقش پارامترهای آن ضروری است. این مدل عیناً همان است که در [10] جهت برنامه‌ریزی یک روبات رفتاری استفاده شده است. بخش سوم مقاله به معرفی جند نمونه از اتوماتون‌های یادگیر اختصاص دارد. شرح کاملتری از این اتوماتون‌ها را می‌توان در [23] پیدا کرد. در بخش چهارم روش پیشنهادی برای تنظیم پارامترهای مدل Q با استفاده از اتوماتون‌های یادگیر معرفی می‌شود و سپس در بخش ششم نتایج بعضی آزمایش‌های انجام شده به منظور ارزیابی این روش ارائه می‌شود. بخش ۷ مقاله جمعبندی می‌باشد.

۱- مدل Q

یادگیری Q یک نوع یادگیری تقویتی است. در

(4)

$$p(S \in C | s_1 = v_1, s_2 = v_2, \dots, s_n = v_n) = p(S = V_1, \dots, V_n | s_1 = v_1, s_2 = v_2, \dots, s_n = v_n)$$

(L \bar{g} , 0 = λ)

1. የፌዴራል ተስፋዎች ስለመስጠት እና የፌዴራል ተስፋዎች ስለመስጠት እና

(1)

$$P(s_i = 1 | S \in C) = \frac{O_i + Z_i}{O_i}$$

መ-መ-መ- (S S S)

$$C = \langle (Z_1, O_1), (Z_2, O_2), \dots, (Z_n, O_n), Q, M^c \rangle$$

Digitized by srujanika@gmail.com

መመሪያ ቅኑን እና የሚከተሉ ስምምነት የሚያስረዳ ይችላል
በዚህ ደንብ የሚከተሉ ስምምነት የሚያስረዳ ይችላል [1].

$$C_i = \langle (Z^{(i)}, Q^{(i)}), (Z^{(i)}, Q^{(i)}), \dots, (Z^{(i)}, Q^{(i)}), Q^{(i)}, M^{(i)} \rangle$$

לְהַלֵּל:

“**תְּמִימָה**” בְּשֶׁבֶת כַּאֲמֵן כַּאֲמֵן

$$C = \langle z_1, 0_1, (z_2, 0_2), \dots, (z_n, 0_n), Q, M \rangle$$

Digitized by srujanika@gmail.com

(b) $\text{g} > 1^{\circ}\text{D} - 3^{\circ}\text{D}$

$$(y) \quad p(S \in C | s_1 = v_1, s_2 = v_2, \dots, s_n = v_n) < \epsilon$$

(A)

$$P(S_1 = V_1, \dots, S_n = V_n | S \in C) = \prod_{i=1}^n P(S_i = V_i | S \in C)$$

卷之三

አዲስ አበባ የሰውን ማኅበር ተከራካሪ ይችላል

$$(s) \quad ({}^1\Lambda = {}^1S) d \prod_{n=1}^{l-1} = ({}^0\Lambda = {}^0S + \dots + {}^1\Lambda = {}^1S) d$$

၁၇၈၀ ခုနှစ်၊ ၂၀၁၀ ခုနှစ်

សំគាល់ និង សំគាល់ ស្រី

ପ୍ରକାଶି ହେଉଥିଲା ତୁମଙ୍କି ପାଇଁ ଦେଖନ୍ତି ହେଲା (୧)

سپس دسته خالی فوق با وضعیت S ادغام می شود و دسته C_{new} را می سازد.

برای هر بیت از وضعیت S که برابر با 1 باشد، خواهیم داشت:

۱-۵-ادغام دسته های موجود

گاهی دو دسته به اندازه ای مشابه یکدیگرند که می توانند در هم ادغام شوند. برای محاسبه تشابه دو دسته می توان از اندازه گیری فاصله بین دو دسته استفاده کرد:

$$\text{distance}(C_1, C_2) = \sum [p(s_i = 1 | S \in C_1) - p(s_i = 1 | S \in C_2)] \quad (18)$$

دو دسته C_1 و C_2 تنها زمانی با هم ادغام می شوند، که اولاً فاصله آنها کمتر از مقدار ثابت ρ باشد و ثانیاً مقادیر Q دو دسته اختلافی کمتر از δ داشته باشد. یعنی:

$$\text{distance}(C_1, C_2) < \rho \quad (19)$$

$$|Q_{c1} - Q_{c2}| < \delta \quad (20)$$

حال اگر دو دسته زیر را داشته باشیم:

$$C_a = \langle (z_{1a}, o_{1a}), (z_{2a}, o_{2a}), \dots, (z_{na}, o_{na}), Q_{ca}, M_{ca} \rangle \quad (21)$$

$$C_b = \langle (z_{1b}, o_{1b}), (z_{2b}, o_{2b}), \dots, (z_{nb}, o_{nb}), Q_{cb}, M_{cb} \rangle \quad (22)$$

و این دو دسته به اندازه کافی مشابه باشند (یعنی روابط ۱۹ و ۲۰ برای آنها صادق باشد)، آنگاه دو دسته در هم ادغام می شوند و دسته جدید C را بوجود می آورند:

$$C = \langle (z_1, o_1), (z_2, o_2), \dots, (z_n, o_n), Q_c, M_c \rangle \quad (23)$$

عناصر دسته C به صورت زیر ساخته می شوند:

$$z_{ic} = z_{ia} \left(\frac{M_a}{M_a + M_b} \right) + z_{ib} \left(\frac{M_b}{M_a + M_b} \right) \quad (24)$$

$$z_{iu} = \mu z_i, o_i = 1 + \mu o_i (s_i = 1) \quad (12)$$

و برای هر بیت از وضعیت S که برابر با 0 باشد، خواهیم داشت:

$$z_{iu} = 1 + \mu z_i, o_i = \mu o_i (s_i = 0) \quad (13)$$

در اینجا μ عددی حقیقی و بین صفر و یک است که برای افزایش اهمیت تجارت جدید به کار می رود. اگر $\mu = 1$ باشد، اهمیت تجارت جدید در نظر گرفته نخواهد شد. μ را معمولاً از فرمول $K / (2K - 1) = \mu$ به دست می آورند که در آن K عددی صحیح است (از K برای ایجاد دسته های جدید استفاده خواهد شد). فرض کنید در وضعیت S فعالیت α اعمال شده باشد و مقدار محاسبه شده Q برای آن برابر با $Q(S, \alpha)$ باشد، آنگاه برای ساختن Q_{ca} می توان از مجموع Q و $Q(S, \alpha)$ استفاده کرد. معمولاً در این جمع از M_c به عنوان وزن استفاده می شود:

$$Q_{ca} = Q_u \left(\frac{M_c}{M_c + 1} \right) + Q(S, \alpha) \left(\frac{1}{M_c + 1} \right) \quad (14)$$

همچنین تعداد تجربیات دسته C به صورت زیر بهنگام می شود:

$$M_{ca} = M_c + 1 \quad (15)$$

۱-۶-ایجاد دسته های جدید

اگر یک وضعیت S مشابه هیچ یک از دسته های موجود نباشد، باید یک دسته جدید C_{new} برای آن ساخته شود. برای اینکار ابتدا یک دسته خالی به شکل زیر ایجاد می گردد:

$$C = \langle (z_1, o_1), (z_2, o_2), \dots, (z_n, o_n), Q_c, M_c \rangle \quad (16)$$

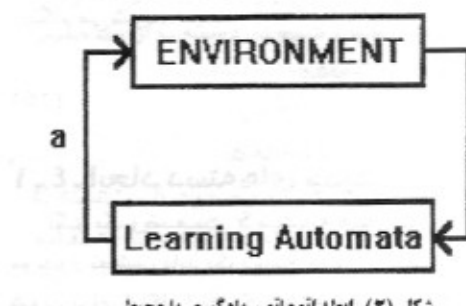
که در آن:

$$z_i = o_i = K, Q_c = 0, M_c = 0 \quad (17)$$

V. اگر دسته‌ای مانند C وجود داشت که به همراه X در نامعادلات (۸) و (۹) صدق کند، وضعیت X را در دسته C ادغام کنید. در غیر این صورت دسته جدیدی از روی X ایجاد نمایید.
VI. هر دو دسته C_۱ و C_۲ که در نامعادلات (۱۹) و (۲۰) صدق می‌کنند را در هم ادغام کنید.

۲. اوتوماتون‌های یادگیر

در اوتوماتون‌های یادگیر یک تصمیم گیرنده در یک محیط تصادفی فعالیت‌هایی را براساس پسخورهای دریافت شده از محیط انتخاب می‌کند (شکل ۲). تصمیم گیرنده در چنین محیطی از پسخورهای دریافت شده یک استراتژی انتخاب فعالیت، ایجاد می‌کند و این استراتژی را با دریافت پسخورهای جدید بهنگام نمایش داد: ورودی یا پسخور (r)، خروجی‌ها (α)، وضعیت‌های درونی (\emptyset) و دوتابع یکی برای نگاشت پسخور به وضعیت درونی فعلی و دیگری برای نگاشت وضعیت درونی فعلی به خروجی، هرگاه ساختار نگاشت پسخور به وضعیت فعلی و نگاشت وضعیت فعلی به خروجی در طول زمان (و با دریافت پسخورهای جدید) تغییر نکند، اوتوماتون یادگیر از نوع ساختار ثابت خواهد بود و در غیر این صورت اوتوماتون از نوع ساختار متغیر می‌باشد.



شکل (۲) رابطه اوتوماتون یادگیری با محیط

۲-۱- اوتوماتون‌های با ساختار متغیر (اوتماتون‌های LRI, LReP, LRP)

در اوتوماتون‌های یادگیر با ساختار متغیر به هر فعالیت a یک احتمال انتخاب P_a نسبت داده می‌شود. هرگاه اوتوماتون فعالیت a را در زمان t انتخاب کند و پسخور محیط موفقیت آمیز باشد، آنگاه p افزایش داده می‌شود و احتمال انتخاب سایر فعالیت‌ها کاهش پیدا

$$o_{ic} = o_{ia} \left(\frac{M_a}{M_a + M_b} \right) + o_{ib} \left(\frac{M_b}{M_a + M_b} \right) \quad (25)$$

$$Q_c = Q_a \left(\frac{M_a}{M_a + M_b} \right) + Q_b \left(\frac{M_b}{M_a + M_b} \right) \quad (26)$$

$$M_c = M_a + M_b \quad (27)$$

۱-۶- انتخاب فعالیت با استفاده از دسته‌های موجود

در یادگیری Q باید در هر وضعیت S فعالیت a به گونه‌ای انتخاب کرد که مقدار Q(S, x) را به ازای تمام فعالیت‌های ممکن ماکزیمم کند ($x = 1, 2, \dots, m$). برای محاسبه Q(S, x) از روی دسته‌های موجود می‌توان از فرمول زیر استفاده کرد:

$$Q(S, x) = \frac{\sum_{C \in C_x} [Q_c \times P(S \in C | S_1 = V_1, \dots, S_n = V_n)]}{\sum_{C \in C_x} [P(S \in C | S_1 = V_1, \dots, S_n = V_n)]} \quad (28)$$

در عبارت فوق C_x مجموعه دسته‌هایی می‌باشد که در آنها فعالیت x انتخاب شده است. صورت کسر بالا مجموع وزن دار مقادیر Q برای عناصر C_x است (از احتمال قرار گرفتن وضعیت S در دسته C به عنوان وزن این جمع استفاده شده است). مخرج کسر نیز برای نرمال کردن عبارت می‌باشد.

۲-۲- جمع‌بندی مدل

یادگیری Q با دسته‌بندی را می‌توان به صورت زیر خلاصه کرد:

۱- مقادیر ثابتی برای پارامترهای Q(θ, λ) و پارامترهای دسته‌بندی (p, K, δ, ϵ) در نظر بگیرید.

۲- برای همیشه:

I. وضعیت فعلی محیط را مشاهده کنید (X).

II. در θ درصد از موقعیت فعالیتی را به طور تصادفی انتخاب کنید. در موقعیت دیگر فعالیتی را انتخاب کنید که مقدار Q(X, a) را ماکزیمم کند.

III. فعالیت a را در محیط اعمال کنید. فرض کنید وضعیت جدید Y باشد و پسخور بلاfacسله اعمال این فعالیت z باشد.

IV. میزان Q(X, a) را با معادله (۱) بهنگام کنید.

بردار $P(t) = \{p_{00}, p_{01}, \dots, p_{m0}\}$ نمایش دهیم: $P(t) = (p_{00}, p_{01}, \dots, p_{mm})$ آنگاه $P(n)$ یک حالت جذب شونده^۷ خوانده می‌شود. اگر برای هر $k \geq n$ داشته باشیم: $p(k) = p(n) \cdot p$. اتوماتونی که دارای حالت جذب شونده باشد را اتوماتون جذب شونده می‌خوانند. نشان داده شده است که اتوماتون LRI که در یک محیط ایستا عمل می‌کند، جذب شونده می‌باشد. اتوماتون‌های LRP و LReP دارای خصوصیت جذب شوندگی نمی‌باشند [23] [12].

۲-۲-۱- اتوماتون‌های بدون حافظه (اتوماتون FA)

یک استراتژی ساده برای انتخاب فعالیت‌ها این است که اتوماتون تا زمانی که پسخور موفقیت‌آمیز دریافت می‌کند، به انتخاب فعالیتی که در لحظه قبل انتخاب کرده ادامه دهد. اما هرگاه پسخور ناموفق بود، یک فعالیت دیگر را انتخاب کند. در گراف‌های شکل ۳ این استراتژی انتخاب فعالیت مشخص شده است (در گراف‌ها m تعداد فعالیت‌هاست). پیاده‌سازی این استراتژی مستلزم روشی برای برآورد موفقیت‌آمیز بودن یا نبودن یک پسخور است. فرض کنید پسخور دریافت شده توسط مأمور c باشد و مقداری بین c و d داشته باشد. در این صورت یک راه ساده برای تخمین موفقیت‌آمیز بودن پسخور مقایسه آن با $(c+d)/2$ است. از آنجایی که اتوماتون در ابتدای یادگیری اطلاعی از مقادیر c و d ندارد، می‌توان از روابط زیر برای تخمین آنها استفاده کرد:

$$c = \text{MIN}_{i=0}^{r(i)}, d = \text{MAX}_{i=0}^{r(i)} \quad (29)$$

$$\text{if } r(t) > \frac{c+d}{2} \text{ then SUCCESSFUL} \quad (30)$$

else UNSUCCESSFUL

می‌کند (در صورتی که پسخور محیط نشانگر عدم موفقیت باشد عکس این عمل اتفاق خواهد افتاد). در حالت کلی اتوماتون یک فعالیت (به عنوان مثال فعالیت a) را براساس احتمال انتخاب فعالیت‌ها انتخاب می‌کند. اگر پسخور حاصل از اعمال این فعالیت a باشد، اتوماتون مقادیر p_i ‌ها را مطابق فرمول‌های زیر بهنگام می‌سازد:

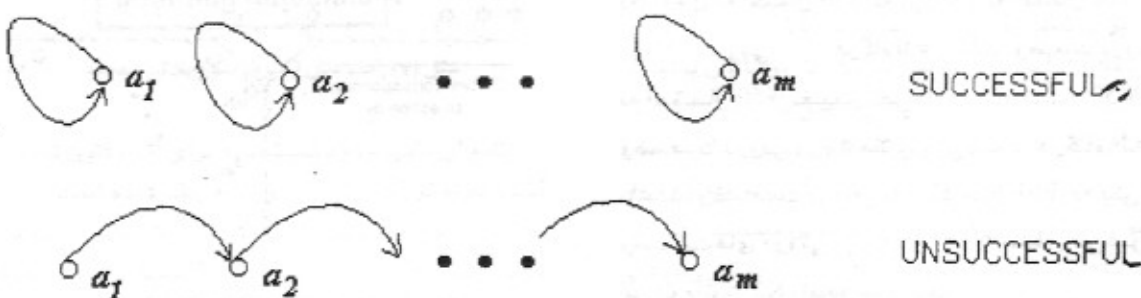
$$p_i(t+1) \leftarrow p_i(t) + (1 - r(t)) \times \beta \times \left[\frac{1}{m-1} - p_i(t) \right] - r(t) \times \alpha \times p_i(t), \text{ for all } i \neq a$$

$$p_a(t+1) \leftarrow p_a(t) - (1 - r(t)) \times \beta \times p_a(t) + r(t) \times \alpha \times (1 - p_a(t))$$

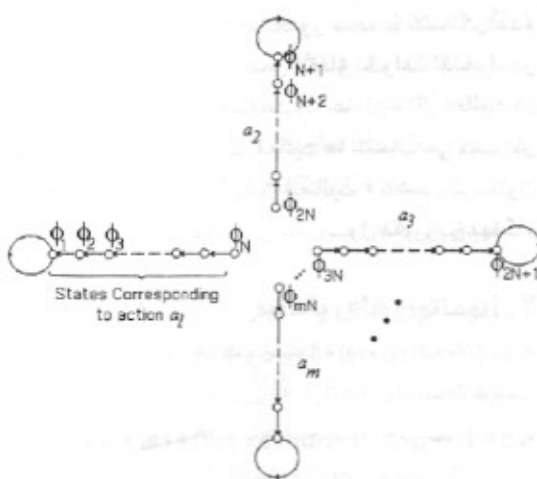
در معادلات بالا m تعداد فعالیت‌ها و α و β به ترتیب پارامترهای پاداش و جزا می‌باشند که مقادیری بین صفر و یک را اختیار می‌کنند. پارامتر پاداش نرخ افزایش احتمال انتخاب فعالیتی را نشان می‌دهد که پسخور موفقیت‌آمیز دریافت کرده و پارامتر جزا نرخ کاهش احتمال انتخاب فعالیتی را مشخص می‌کند که پسخور غیر موفق دریافت نموده است. در رابطه بالا مقدار a باید بین c و d باشد، در غیر این صورت می‌توان از رابطه زیر مقدار a را به عددی بین c و d نگاشت کرد (در این رابطه فرض شده است که مقدار بیشینه و کمینه پسخورهای دریافت شده از بیش مشخص نمی‌باشند):

$$r_{\text{nom}} = \frac{r(t) - \text{Min}(r(i))}{\text{Max}(r(i)) - \text{Min}(r(i))}$$

اتوماتون‌های یادگیر بر حسب مقدار پارامتر جزا به سه اتوماتون اصلی تقسیم بندی می‌شوند. اگر $\alpha \neq 0$ و $\beta = 0$ اتوماتون را LRI^۸ و در صورتی که $\alpha = \beta$ و $\beta \neq 0$ باشد، اتوماتون را LRP^۹ و اگر $\alpha \neq 0$ و $\beta \neq 0$ به اندازه کافی کوچک باشد، اتوماتون را LReP^{۱۰} می‌نامند. فرض کنید احتمال انتخاب فعالیت‌ها در زمان t را با



شکل (۳) استراتژی انتخاب فعالیت اتوماتون FA



شکل (۵) استراتژی انتخاب فعالیت اوتوماتون L به ازای دریافت پسخور موفقیت آمیز

۲-۲-۳- اوتوماتون کرینسکی (اوتوماتون K1) [8]

این اوتوماتون زمانی که پسخور محیط موفقیت آمیز نیست، مانند اوتوماتون L رفتار می کند. اما هر گاه پسخور محیط موفقیت آمیز باشد، وضعیت درونی مأمور از ϕ_{iN+j} (for $i = 0, 1, 2, \dots, m-1$ and $j = 1, 2, \dots, N$) به $\phi_{(i+1)N+j}$ منتقل می شود. یعنی این مدل تنها با دریافت N بار پسخور ناموفق فعالیتی که انتخاب کرده است را تغییر می دهد. این اوتوماتون با $K1$ مشخص می شود.

۲-۲-۴- اوتوماتون کریلوف (اوتوماتون K2) [Krylov64]

این اوتوماتون زمانی که پسخور محیط موفقیت آمیز باشد مانند اوتوماتون L رفتار می کند. اما هرگاه پسخور محیط موفقیت آمیز نباشد، وضعیت درونی مأمور از ϕ_{iN+j} (j ≠ 1, N) به احتمال 50% به ϕ_{iN+j+1} و به احتمال 50% به ϕ_{iN+j-1} منتقل می شود. هرگاه j = 0 باشد، وضعیت درونی به احتمال 50% به ϕ_{iN+j+1} و به احتمال 50% به ϕ_{iN+j-1} منتقل می شود. هرگاه j = N باشد، وضعیت درونی به احتمال 50% به یکی از وضعیت های درونی ϕ_{iN+j-1} یا ϕ_{iN+j+1} تغییر نمی کند و به احتمال 50% به یکی از وضعیت های درونی ϕ_{iN+j-1} یا ϕ_{iN+j+1} منتقل می شود. این اوتوماتون K2 نامیده شده است.

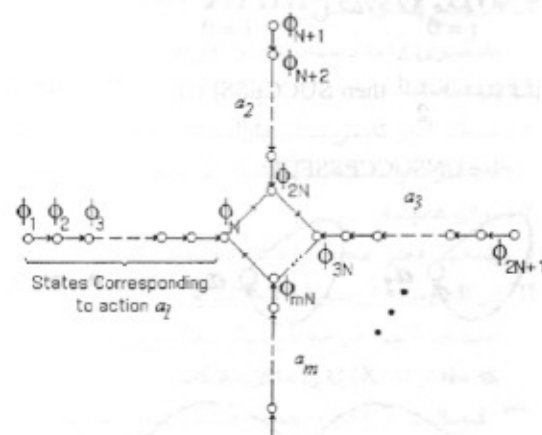
۲-۲-۲-۲- اوتوماتون های حافظه دار

۱- اوتوماتون اول تسلسین (اوتوماتون L) [18]

این اوتوماتون تعداد پسخورهای موفق و ناموفق حاصل از هر فعالیت را ثبت می کند. در تعداد پسخورهای موفقیت آمیز بیشتر از تعداد پسخورهای ناموفق باشد، فعالیت انتخاب شده در لحظه انتخاب خواهد شد. در شکل های ۴ و ۵ این استراتژی انتخاب فعالیت مشخص شده است (موفقیت آمیز بودن یا نبودن یک پسخور با استفاده از روابط ۲۹ و ۳۰ محاسبه می شود). در شکل N عمق اوتوماتون می باشد و می توان آن را حافظه متعلق به هر فعالیت دانست (این اوتوماتون در حالت ۱ به اوتوماتون بدون حافظه تبدیل می شود). همچنین \emptyset وضعیت درونی اوتوماتون را نمایش می دهد، به طوری که وضعیت های درونی $\phi_{iN+1}, \phi_{iN+2}, \dots, \phi_{iN+m-1}$ مربوط به فعالیت $a_{i+1}, a_{i+2}, \dots, a_{i+m-1}$ می باشند و تعداد فعالیت های قابل انتخاب را نشان می دهد. این اوتوماتون با حرف L مشخص می شود.

۲- اوتوماتون دوم تسلسین (اوتوماتون G) [18]

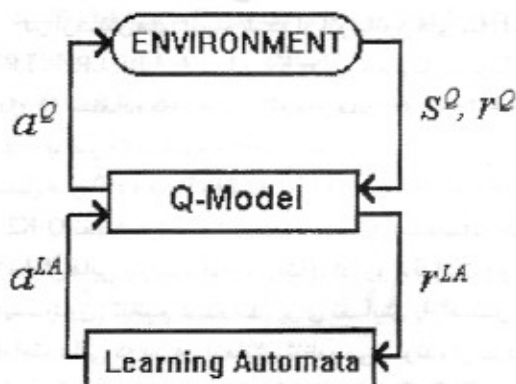
نسخه های متعددی از اوتوماتون حافظه دار ساخته شده است. یک نمونه از این اوتوماتون ها که آن را اوتوماتون G می نامیم پس از انتخاب یک فعالیت جدید حداقل N بار دیگر آن را انتخاب خواهد کرد. تفاوت این اوتوماتون با اوتوماتون L تنها پس از دریافت پسخور ناموفق می باشد (شکل ۶).



شکل (۶) استراتژی انتخاب فعالیت اوتوماتون L به ازای دریافت پسخور ناموفق

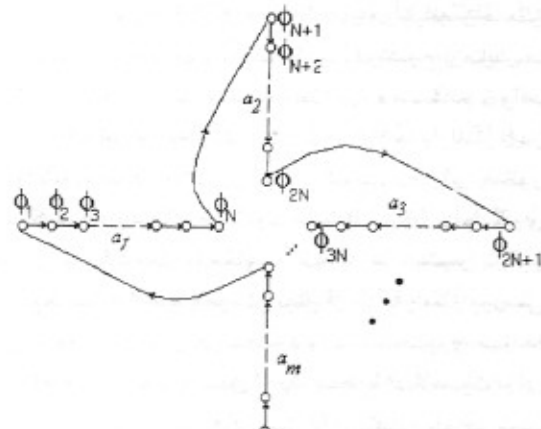
مجموعه ها تنها سه نکته مدنظر بوده است: اولاً سعی شده است تا هر کدام از اعضای مجموعه ها نمایانگر یک بازه از مقادیر قابل قبول برای پارامتر باشد، ثانیاً این بازه ها بر روی هم تمام دامنه مقادیر معقول برای پارامتر در محیط را پوشش دهند و ثالثاً تعداد اعضای مجموعه ها زیاد نباشد.

به عنوان مثال فرض کنید از یک اتوماتون یادگیر برای تنظیم مقدار θ استفاده شود. برای تعیین مقدار مناسب این پارامتر که عددی بین صفر و یک است، بازه $[0, 1]$ به بازه های کوچکتری تقسیم می شود. فرض کنید بازه ها با فاصله یک دهم انتخاب شوند (یعنی ده بازه) و هر بازه با کوچکترین عدد آن بازه مشخص شود. وظیفه اتوماتون یادگیر انتخاب بازه ای است که عدد مشخص کننده آن مناسب‌ترین مقدار را برای پارامتر انتخاب تصادفی یادگیری Q داشته باشد. برای این منظور باید از یک اتوماتون یادگیر که مجهرز به ده فعالیت (برای انتخاب هر کدام از بازه ها) است استفاده کرد. اتوماتون یادگیر پس از انتخاب یک مقدار برای این پارامتر آن را در اختیار مدل Q می گذارد و مدل Q در یک پریود زمانی (مثلاً ده واحد زمانی) از این مقدار استفاده خواهد کرد. پس از انقضای این پریود میزان کارآیی پارامتر تنظیم شده توسط یکتابع ارزیابی به اتوماتون یادگیر پسخور می گردد و دوباره این عملیات تکرار می شود.



شکل (۷) رابطه مدل Q با اتوماتون یادگیر و محیط

تابع ارزیابی مورد استفاده برای اتوماتون تنظیم کننده پارامتر θ به صورت زیر تعریف شده است: (این روابط پسخور اتوماتون در زمان t را مشخص می کند، فرض شده که اتوماتون در زمان T پسخور بیشینه را دریافت کرده باشد.)



شکل (۶) استراتژی انتخاب فعالیت اتوماتون G به ازای دریافت پسخور ناموفق

۳- تنظیم پارامترهای مدل Q توسط اتوماتون های یادگیر [3]

برای تنظیم پارامترهای مدل Q با استفاده از اتوماتون های یادگیر این اتوماتون ها باید مجهرز به فعالیت هایی جهت تغییر مقادیر پارامترهای مدل Q باشند (به این ترتیب مدل Q نقش محیط اتوماتون یادگیر را ایفا می کند، شکل ۷). شمای کلی روش تنظیم پارامترها توسط اتوماتون ها به این صورت است:

- (۱) اتوماتون ها با اعمال فعالیت های خود مقدار پارامترهای مدل Q را تغییر می دهند.

- (۲) مدل Q در طول یک پریود زمانی (period) از این مقادیر استفاده می کند.

- (۳) در انتهای پریود میزان کارا بودن هر یک از پارامترها براساس عملکرد مدل ارزیابی می شود و به صورت پسخورهایی در اختیار اتوماتون های یادگیر قرار می گیرند.

- (۴) اتوماتون ها با استفاده از پسخورهای دریافتی احتمال انتخاب فعالیت های خود را بهنگام می کنند.

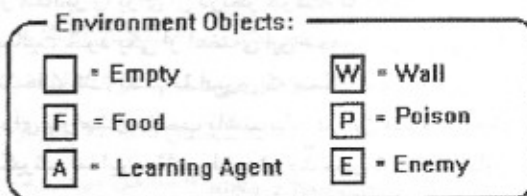
- (۵) تکرار عملیات.

برای تنظیم هر پارامتر به روش بالا باید مجموعه ای از مقادیر را برای آن درنظر گرفت، تا اتوماتون با اعمال فعالیت خود یکی از اعضای این مجموعه را برای پارامتر انتخاب کند. تمام مقادیری که ممکن است در این محیط برای پارامتر مناسب باشند باید در این مجموعه قرار بگیرند. اما این مقادیر از بیش مشخص نیستند. بنابراین باید برای تعیین اعضای مجموعه ها از روش های هیورستیک استفاده نمود. در اینجا برای تعیین این

صفحه شطرنجی شکل است که در هر خانه آن ممکن است یک شیء وجود داشته باشد. در شرح آزمایش‌ها ابتدا از یک محیط با قوانین نسبتاً ساده استفاده خواهد شد. برای این محیط ابتدا مدل‌هایی که تنها پارامتر θ در آنها تنظیم شده است، بررسی می‌شوند. برای این منظور عملکرد، انعطاف‌پذیری، قدرت اکتشاف و قدرت یادگیری توالی عملیات مدل‌ها مقایسه خواهد شد. سپس در این محیط ساده تنظیم همزمان بیش از یک پارامتر بررسی می‌شود و تأثیر آن در عملکرد و انعطاف‌پذیری مدل‌ها مطالعه می‌شود. سپس از یک محیط کلاسیک برای بررسی تنظیم پارامترهای مدل Q استفاده خواهد شد. این محیط بر اساس مثال کلاسیک هل دادن جعبه‌ها طراحی شده است.

۵- یک محیط ساده

مأمور یادگیرنده در این محیط مجهن به چهار حس برای مشاهده اجسام خانه‌های مجاور خود (بالا، راست، پایین و چپ) و چهار فعالیت برای حرکت به این خانه‌های مجاور است. این فعالیت‌ها تنها زمانی موجب حرکت به یک خانه مجاور می‌شوند که در آن خانه شیشه وجود نداشته باشد. در این صورت حرکت به این خانه انجام می‌گردد و مأمور پسخور صفر ($=0$) را از محیط دریافت می‌کند. در هر خانه از محیط یکی از اشیاء دیوار، غذا، زهر یا دشمن می‌تواند وجود داشته باشد. اعمال یک فعالیت برای حرکت به خانه‌ای که در آن دیوار، غذا، زهر یا دشمن وجود دارد به ترتیب پسخورهای ۱۰۰- و ۱۰۰- را ایجاد می‌کند. اشیاء دیوار، غذا و زهر نمی‌توانند در محیط حرکت کنند، اما دشمن می‌تواند در هر واحد زمانی به یکی از چهار خانه فجاور (بالا، راست، پایین یا چپ) حرکت کند (حرکت دشمن به خانه‌های مجاور به طور تصادفی انجام می‌گیرد). برای ساده کردن توصیف محیط در آزمایش‌های این بخش از علامت‌های زیر برای نمایش هر کدام از اشیاء استفاده شده است:



شکل (۸) اشیاء درون محیط

$$\text{IF } \sum_{i=t-p}^t r_i^Q \geq \sum_{i=t-p}^T r_i^Q \text{ THEN } r^{IA} = \text{MAX}_{i=1}^t (r_i^Q)$$

$$\text{ELSE IF } \sum_{i=t-p}^t r_i^Q \leq \sum_{i=t-p}^T r_i^Q \text{ THEN } r^{IA} = \text{MIN}_{i=1}^t (r_i^Q)$$

$$\text{ELSE } r^{IA} = \text{MIN}_{i=1}^t (r_i^Q) + \frac{\sum_{i=t-p}^t P_i}{\sum_{i=T-p}^T P_i} \cdot \frac{\sum_{i=1}^T P_i}{\sum_{i=1}^t P_i} \times (\text{MAX}_{i=1}^t (r_i^Q) - \text{MIN}_{i=1}^t (r_i^Q))$$

سایر پارامترهای مدل Q علاوه بر عملکرد مدل بر تعداد دسته‌های مدل نیز مؤثرند. در تابع ارزیابی اوتوماتون‌های تنظیم کننده این پارامترها در صورتی که تعداد دسته‌ها در یک پریود تغییر نکند، پسخور با روابط بالا محاسبه شده است. اما اگر تعداد دسته‌ها در یک پریود زمانی افزایش یابد و میانگین پسخورهای دریافتی در این پریود نسبت به میانگین کل بهتر نشود، آنگاه پسخور کمینه و در صورتی که تعداد دسته‌ها در یک پریود زمانی کاهش یابد و میانگین پسخورهای دریافتی در این پریود نسبت به پریود قبلی کاهش نیابد، پسخور بیشینه برای اوتوماتون‌ها در نظر گرفته شده است.

۴- آزمایش‌ها و نتایج

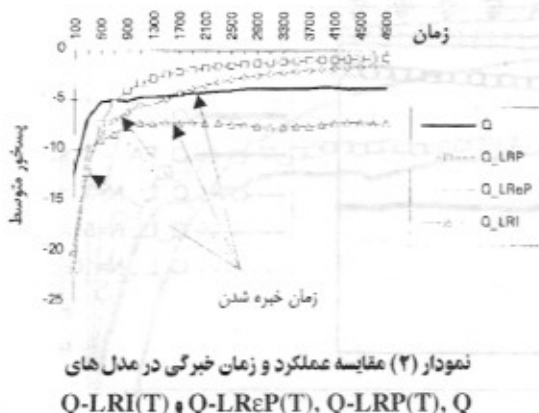
در آزمایش‌های انجام شده از اوتوماتون‌های $K1, G, L, FA, LRI, LReP, LRP$ و $K2$ برای تنظیم پارامترهای مدل Q استفاده شده است. نام مدل‌هایی که پارامترهای آنها با این اوتوماتون‌ها تنظیم شده‌اند، به ترتیب با سعیلهای $Q-K1, Q-G, Q-L, Q-LRI, Q-LReP, Q-LRP$ و $Q-K2$ نمایش داده شده‌اند. در این مقاله طی آزمایش‌هایی پارامترهای θ (θ (تتا)، ρ (رو)، δ (دلتا) و ϵ (ایpsilonیلون) تنظیم شده‌اند. برای نمایش پارامتر یا پارامترهایی که در هر آزمایش تنظیم می‌شوند، از حرف اول هر کدام از پارامترها (به ترتیب E و D ، R ، T و L) استفاده شده است. به این ترتیب که حرف اول پارامتر یا پارامترهایی که توسط اوتوماتون تنظیم شده است، داخل پرانتز و در مقابل نام مدل قرار گرفته شده است. برای مثال منظور از مدل $Q-L(ERT)$ در این متن این است که پارامترهای ϵ, ρ و θ مدل Q توسط اوتوماتون L تنظیم شده است.

در آزمایش‌هایی که شرح آنها خواهد آمد، محیط یک

۵-۱- تنظیم پارامتر انتخاب تصادفی (θ)

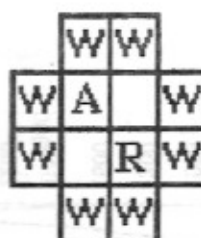
تمام آزمایش‌ها مقدار α و β برای اتوماتون‌ها برابر با ۰.۱ در نظر گرفته شده است. در نمودار ۲ تغییرات عملکرد مدل‌ها مقایسه شده است، همچنین در این نمودار زمان خبرگی در محیط برای هر یک از مدل‌ها با پیکان‌های مشخص شده‌اند. مدل زمانی در محیط خبره می‌شود که تمام دسته‌های لازم برای انتخاب بهینه فعالیت‌ها را کشف کرده باشد. می‌توان زمانی را که از آن پس دسته‌های کشف شده، ثابت باقی می‌مانند را معادل زمان خبرگی دانست (مطابق نمودار مدل‌های Q-LRP, Q-LReP, Q-LPR و Q-LRI). به ترتیب پس از ۱۹۰۰، ۲۰۰۰، ۲۱۰۰ و ۲۲۰۰ واحد زمان بر خبره شده‌اند).

در مقایسه انجام یافته Q-LRP و Q-LReP عملکرد نسبتاً خوبی داشته‌اند. این امر به این دلیل است که اولاً، این مدل‌ها افزایش انتخاب‌های تصادفی در واحدهای زمانی اولیه باعث کاهش زمان لازم برای خبرگی در محیط می‌شوند و ثانیاً Q-LReP و Q-LRI پس از خبرگی در محیط دیگر انتخاب تصادفی انجام نمی‌دهند (با ثابت ماندن مقدار θ در مقدار صفر). در نمودارهای ۲ - الف، ۲ - ب و ۲ - پ نحوه تغییرات پارامتر θ با زمان در مدل‌های Q-LRP, Q-LReP, Q-LRI و Q-LPR نشان داده شده است. همانطور که در نمودار ۲ - پ مشخص است، مقدار θ در Q-LRI به سرعت به مقدار ۰.۲ همگرا شده و در همین مقدار ثابت باقی مانده است و در نتیجه عملکرد این مدل تقریباً معادل عملکرد یک مدل Q با پارامتر ثابت $\theta = 0.2$ می‌باشد. در آزمایش انجام شده پارامتر θ در مدل Q همواره ثابت و برابر با ۰.۱ در نظر گرفته شده است، این مدل به دلیل اینکه حتی پس از خبرگی کامل انتخاب‌های تصادفی انجام می‌دهد، نسبت به Q-LRP و Q-LReP عملکرد ضعیف‌تری را نشان داده است.



۵-۱-۱- مقایسه عملکرد

برای بررسی تأثیر تنظیم θ در عملکرد مدلها از محیط ساده با پیکربندی شکل ۹ استفاده شده است. در این پیکربندی یک مأمور یادگیر (A) به همراه یک مأمور تصادفی (R) توسط اشیاء دیوار (W) محاصره شده‌اند. در این آزمایش‌ها مقادیر پارامترهای اثبات مدل‌های Q با پارامتر θ ثابت و «تنظیم شده» بدین صورت انتخاب شده‌اند: $\theta = 0.1, k = 5, \delta = 10, \epsilon = 0.000001, p = 2, \lambda = 0.5, \gamma = 0.9$ period = ۱ (فقط برای مدل‌های Q با پارامترهای ثابت) و ۱ (فقط برای مدل‌های Q با پارامتر تنظیم شده). در آزمایش‌های این بخش هر مدل سه بار در محیط شبیه‌سازی شده و متوسط نتایج سه بار شبیه‌سازی در نمودارها و جداول امده است.



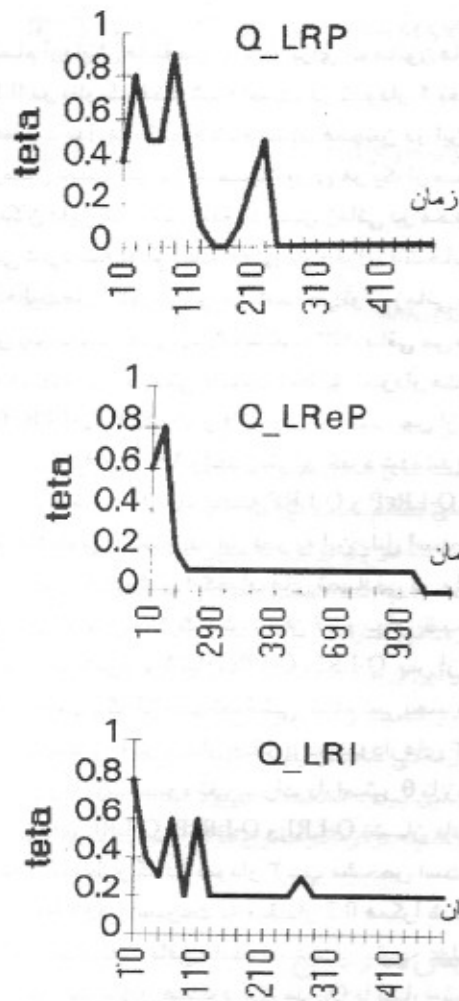
شکل (۹) پیکربندی محیط ساده در آزمایش مقایسه عملکرد

۵-۱-۱-۱- تنظیم پارامتر انتخاب تصادفی با اتوماتون‌های ساختار متغیر

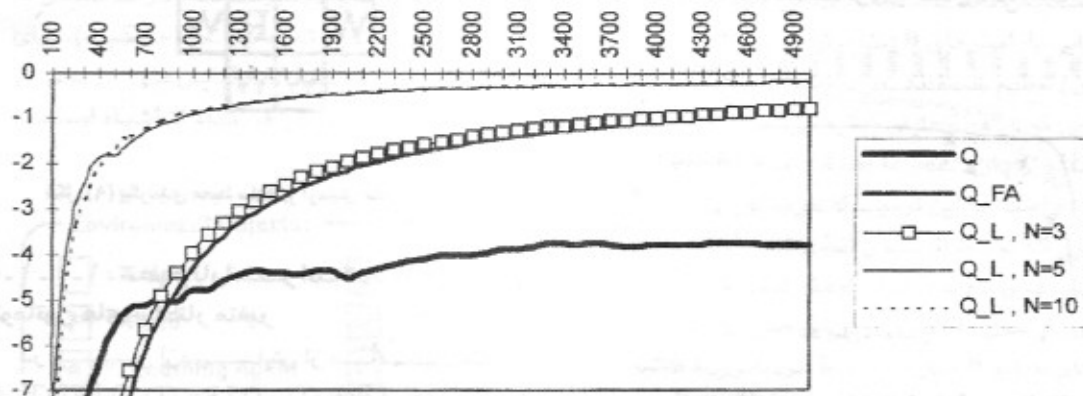
در این آزمایش از مأمورهای Q-LReP (T), Q-LRP (T), Q-LRI (T) و Q-LRI به عنوان مأمور یادگیر محیط شکل ۲۲ استفاده شده است. برای

۱-۱-۲- تنظیم پارامتر انتخاب تصادفی توسط اتوماتون های با ساختار ثابت

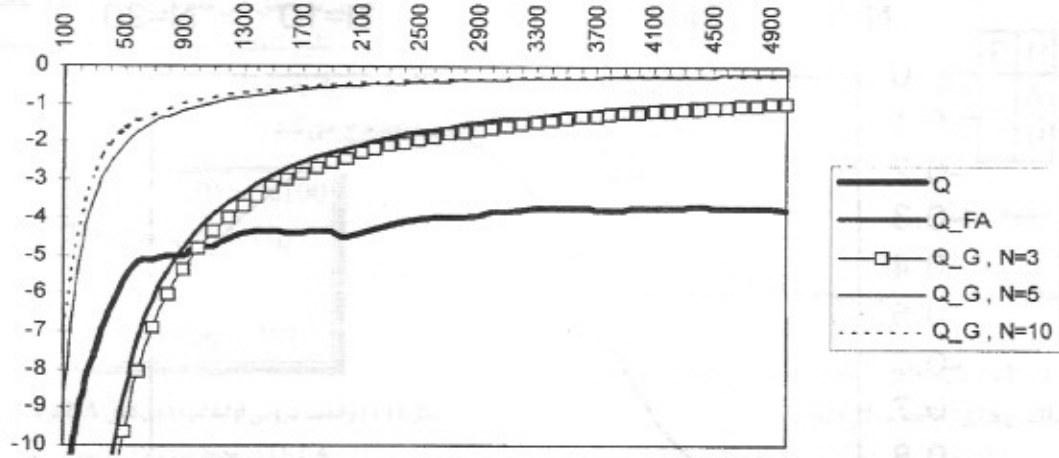
در این آزمایش ها مقادیر پارامترهای ثابت مدل های Q با پارامتر θ «ثابت» و «تنظیم شده» بدین صورت انتخاب شده اند: $\theta = 0.1, k = 5, \delta = 10, \epsilon = 0.000001$. Q با $\rho = 2, \lambda = 0.5, \gamma = 0.9$ (فقط برای مدل های Q با پارامترهای ثابت) و $1 = period$ (فقط برای مدل های Q با پارامتر تنظیم شده). در نمودارهای ۴ تا ۷ به ترتیب عملکرد هر کدام از مدل های Q-K2 و Q-K1, Q-G, Q-L با عمق های حافظه مختلف با مدل های Q و مقایسه Q-FA شده اند. مطابق نمودارها مشخص است که او لا تنظیم پارامترها باعث افزایش عملکرد شده است (دلایل افزایش عملکرد با تنظیم پارامترها در بخش قبل بررسی شده است) و ثانیاً افزایش عمق حافظه در مدل ها موجب عملکرد بهتر آنها شده است. در نمودار ۸ تحول تغییر عملکرد با افزایش عمق حافظه آورده شده است. چنانچه ملاحظه می شود برای این محیط عمق حافظه بین ۵ تا ۱۰ بهترین نتیجه را در بر داشته است. نمودار ۹ عملکرد مدل های Q-K1, Q-G, Q-L و Q-K2 هر یک با عمق حافظه ۵ را با یکدیگر و با مدل های Q-FA و مدل Q-LRP مقایسه می کند. مدل های Q-L, N=3 و Q-L, N=5 عملکرد بهتری نسبت به سایر مدل ها نشان داده اند و مطابق نمودار ۹ عملکرد این مدل ها نسبتاً مشابه بوده است.



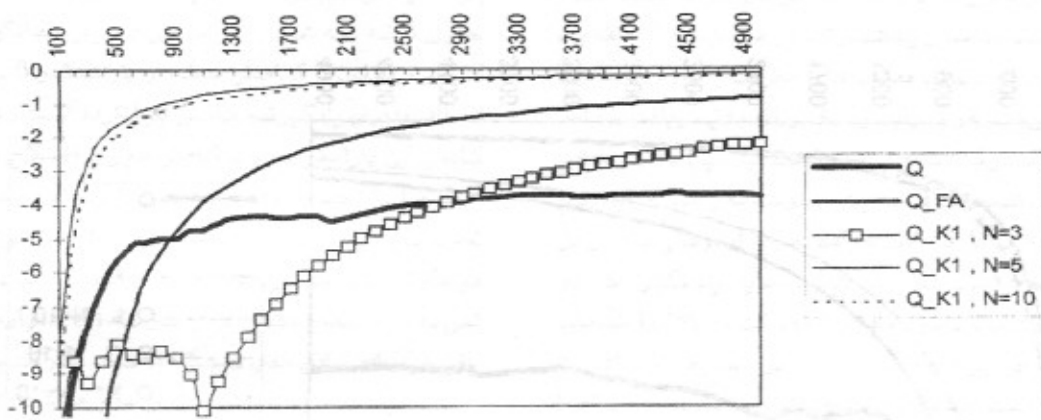
نمودار (۴) (الف) (بالا سمت راست) تغییرات θ و Q-LRP
ب - (بالا سمت چپ) تغییرات θ در Q-LReP
ب - (باین) تغییرات θ در Q-LRI



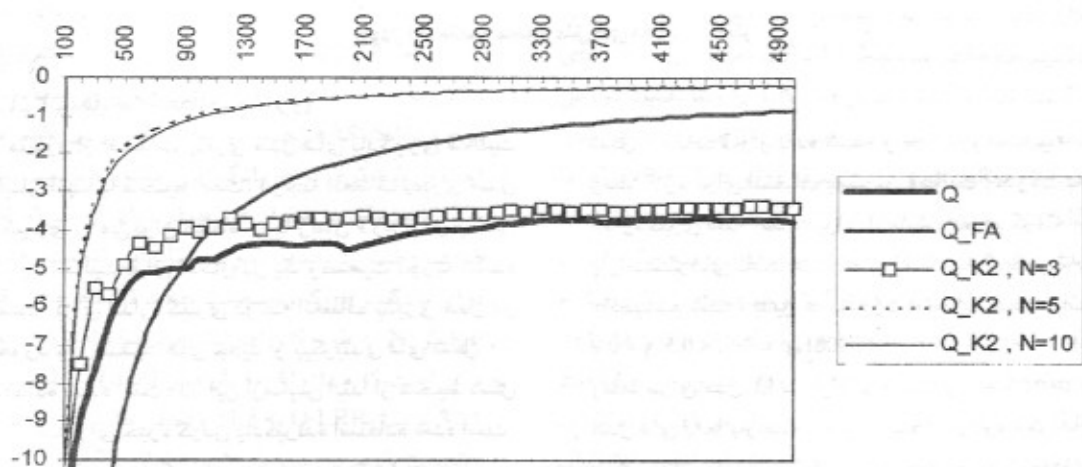
نمودار (۴) عملکرد مدل Q-L با عمق های حافظه مختلف



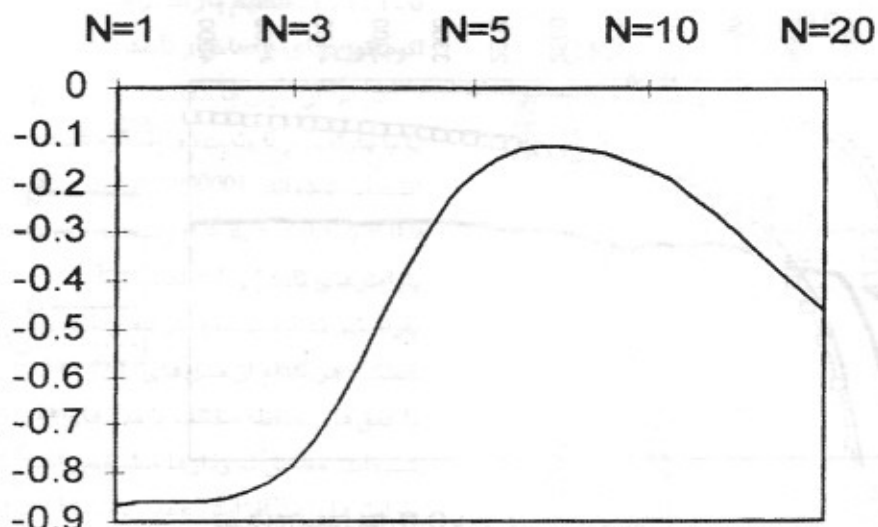
نمودار (۵) عملکرد مدل Q-G با عمق های حافظه مختلف



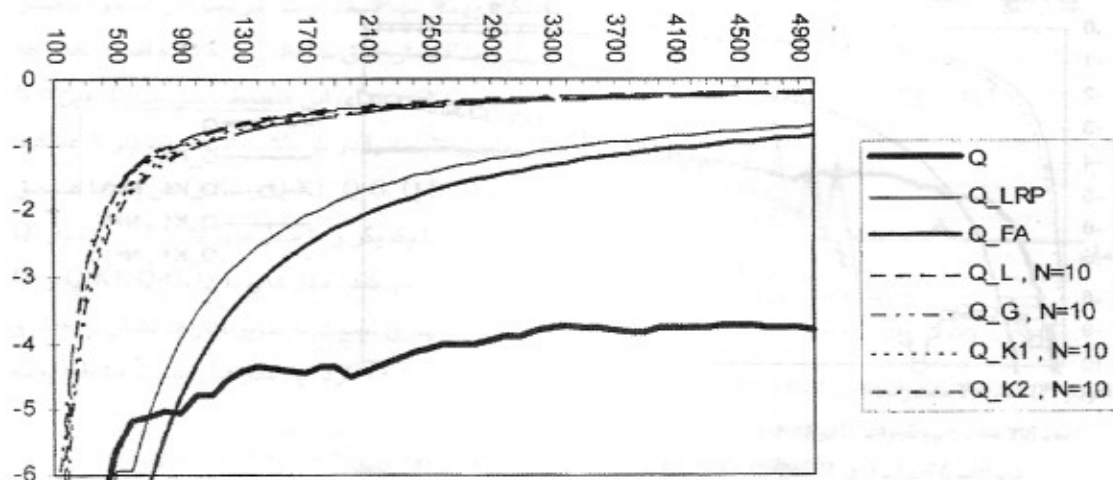
نمودار (۶) عملکرد مدل Q-K1 با عمق های حافظه مختلف



نمودار (۷) عملکرد مدل Q-K2 با عمق های حافظه مختلف



نمودار (۸) تغییرات عملکرد مدل Q-L با تغییر عمق حافظه



نمودار (۹) مقایسه عملکرد مدل های مختلف با یکدیگر

۲-۱- مقایسه انعطاف پذیری

شکل ۱۰- ب قرار داده شده و در این وضعیت جدید زمان لازم برای انتخاب بهترین فعالیت (حرکت به بالا) اندازه گیری شده است. برای آزمایش انجام گرفته مقادیر پارامترهای ثابت مدل های Q با «پارامتر ثابت» و «تنظیم شده» بدین صورت انتخاب شده اند:

$$\theta = 0.1, k = 5, \delta = 10, \epsilon = 0.000001, \rho = 2, \lambda = 0.5, \gamma = 0.9$$

(فقط برای مدل Q با پارامتر ثابت) و 1 (برای مدل های Q با پارامتر تنظیم شده). در آزمایش های این بخش زمان متوسط یادگیری وضعیت جدید با معدل گیری از پنج بار اجرای هر آزمایش محاسبه شده است.

منظور از انعطاف پذیری مدل های یادگیری قابلیت انطباق آنها با محیط است. درجه انعطاف پذیری مدل یادگیری را می توان متناسب با زمان لازم برای یافتن بهترین فعالیت برای اعمال در یک وضعیت تجربه نشده دانست. برای اندازه گیری درجه انعطاف پذیری مدل در برخورد با وضعیت های جدید از پیکربندی های شکل ۱۰ استفاده شده است. در این آزمایش ابتدا از محیط شکل ۱۰ برای خبره کردن یادگیرنده استفاده شده است. برای این منظور یادگیرنده به مدت ۲۰۰۰ واحد زمان در این محیط قرار گرفته است. سپس یادگیرنده در محیط

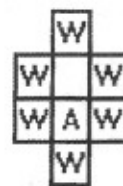
دربیافت پسخور ناموفق می‌شود. این پسخور ناموفق به اتوماتون‌های تنظیم کننده θ منتقل می‌شود و سپس مدل با استفاده از این پسخور «احتمال انتخاب» فعالیت‌های خود را اصلاح می‌کند.

$$\begin{aligned} P(\theta \leftarrow 0.0) &= \%100 \\ P(\theta \leftarrow 0.1) &= \%0 \\ \dots \\ P(\theta \leftarrow 0.9) &= \%0 \end{aligned}$$

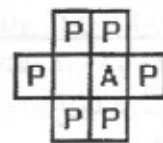
شکل (۱۱) وضعیت درونی اولیه اتوماتون‌های LA از مدل‌های Q-LA در محیط شکل ۱۰ - (ب)

نتایج آزمایش برای مدل‌های Q با مقادیر مختلف پارامتر جزا (β) در اتوماتون‌های تنظیم کننده آنها در جدول ۱ خلاصه شده است. در این آزمایش همانگونه که انتظار می‌رفت با کاهش مقدار پارامتر β درجه انعطاف‌پذیری یادگیرنده کاهش پیدا کرده است، چرا که کاهش این پارامتر موجب کاهش میزان اصلاح مقدار «احتمال انتخاب» فعالیت‌ها پس از دربیافت پسخور LRI ناموفق می‌شود. به طوری که در اتوماتون هیچگونه اصلاحی در «احتمال انتخاب» فعالیت‌ها رخ نمی‌دهد. در نتیجه مقدار θ در مدل Q-LRI صفر باقی می‌ماند و این مدل هیچگاه فعالیت «حرکت به بالا» را در محیط جدید (۱۰ - ب) امتحان نخواهد کرد. لازم به ذکر است که انجام این آزمایش با مدل Q (با پارامتر ثابت) نشان داد که این مدل برای یادگیری وضعیت جدید به طور متوسط به ۳۲.۱ واحد زمانی نیاز دارد.

واضح است که افزایش N در اتوماتون‌های ساختار ثابت باعث افزایش زمان یادگیری وضعیت جدید در مدل‌های Q - G, Q-k2, Q-k1, Q-L, Q-LRP می‌شود. باید توجه داشت که هرچند انتخاب مقادیر بزرگتر برای θ احتمال بیشتری برای یادگیری وضعیت جدید ایجاد می‌کند اما انتخاب هر مقدار غیر صفر برای آن می‌تواند باعث کشف وضعیت جدید شود و بنابراین نسبت زمان لازم برای یادگیری یک وضعیت جدید توسط مدل Q-G با افزایش N به طور کلی افزایش پیدا نخواهد کرد. لازم به ذکر است که مدل Q (با پارامتر ثابت) به طور متوسط ۱۴.۳ و مدل Q-LRP به ۳۲.۱ واحد زمانی برای یادگیری وضعیت جدید در محیط ۱۰ - ب نیاز داشته‌اند.



محیط ب



محیط ال

شکل (۱۰) پیکربندی‌های محیط ساده در آزمایش انعطاف‌پذیری

۵ - ۲ - ۱ - تنظیم پارامتر انتخاب تصادفی توسط اتوماتون‌های با ساختار متغیر

در این آزمایش از اتوماتون‌های با ساختار متغیر برای تنظیم پارامترهای مدل Q در محیط شکل ۱۰ استفاده شده است. برای آزمایش انجام شده مقدار α برای اتوماتون ثابت ($\alpha = 0.1$) در نظر گرفته شده است. در اینجا مأمور یادگیرنده در محیط ۱۰ - الف یاد می‌گیرد که انتخاب فعالیت‌های «حرکت به بالا» و «حرکت به پایین» در هر شرایط پسخور ناموفق دربیافت خواهد کرد. اما هرگاه خانه سمت راست (یا چپ) مأمور خالی باشد، انتخاب فعالیت «حرکت به راست» (یا چپ) پسخور موفق دربیافت خواهد نمود. اما وقتی مأمور در محیط ۱۰ - ب قرار می‌گیرد، باید یاد یادگیرد که در وضعیت جدید خود فعالیت «حرکت به بالا» را انتخاب کند. بنابر این آنچه که مأمور در محیط ۱۰ - الف یاد گرفته است (دسته‌های کشف شده در محیط ۱۰ - الف) برای یادگیری وضعیت جدید در محیط ۱۰ - ب کافی نمی‌باشد و در نتیجه یادگیری بهترین فعالیت برای اعمال در محیط ۱۰ - ب فقط با انتخاب تصادفی فعالیت‌ها امکان پذیر خواهد بود. مطابق آزمایش پس از خبرگی یادگیرنده‌ها در محیط ۱۰ - الف تمام اتوماتون‌های یادگیر تنظیم کننده مدل‌های Q-LA و وضعیت درونی یکسانی خواهند داشت. در تمام این اتوماتون‌ها «احتمال انتخاب» فعالیت قرار دادن صفر برای ($\theta \leftarrow 0$) برابر با ۱۰۰٪ و «احتمال انتخاب» سایر فعالیت‌ها شده است. بنابراین برای انتخاب تصادفی در محیط ۱۰ - ب لازم بوده تا اتوماتون‌ها از این وضعیت درونی خارج شوند (شکل ۱۱) وضعیت درونی اولیه اتوماتون‌ها را در محیط ۱۰ - ب نشان می‌دهد). وقتی مأمور در وضعیت مشخص شده در محیط ۲۲ - ب قرار می‌گیرد، انتخاب فعالیت‌ها براساس آموخته‌های قبلی (یعنی انتخاب فعالیت‌های «حرکت به راست» و «حرکت به چپ») موجب

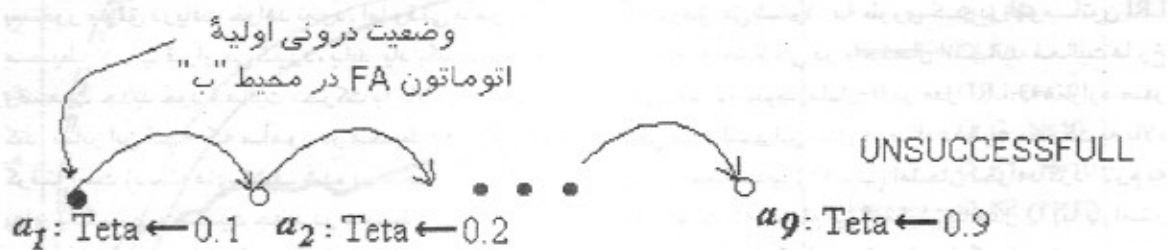
پارامتر انتخاب تصادفی تنظیم شده توسط اتوماتون های ساختار ثابت «آزمایش قبل برای مدل های Q-K1, Q-G, Q-L, Q-FA و Q-K2 و Q-L, Q-FA برای چهار مدل آخر) تکرار شد. نتایج این آزمایش در جدول ۲ خلاصه شده است. آنچه که در اینجا اتفاق می افتد درست مانند مطالعه گفته شده در بخش قبل است، با این تفاوت که وضعیت درونی اولیه اتوماتون های ساختار ثابت در محیط ۱۰ - ب متفاوت است. شکل های ۱۲، ۱۳ و ۱۴ به ترتیب وضعیت درونی اولیه اتوماتون های تنظیم کننده θ در مدل های Q-L, Q-FA و Q-G را در محیط ۱۰ - ب نشان می دهد (این وضعیت پس از ۲۰۰۰ واحد زمان شبیه سازی در محیط ۱۰ - الف ایجاد شده است). با توجه به این شکل ها نرخ تغییر پارامتر θ با دریافت پسخورهای ناموفق متوالی در محیط جدید در مدل Q-FA بیشتر از سایر مدل هاست. مطابق شکل ۱۲ اتوماتون FA با دریافت هر پسخور ناموفق پارامتر θ در Q-FA را تغییر خواهد داد و همانطور که در جدول ۲ هم پیداست این مدل بیشترین انعطاف را داشته است.

جدول (۱) مقایسه زمان یادگیری وضعیت جدید برای مدل های Q-LA

| متوجه زمان لازم برای یادگیری وضعیت جدید | β |
|--|---------|
| نامحدود | 0 |
| 33.30 | 0.01 |
| 22.70 | 0.05 |
| 14.30 | 0.1 |
| 15.00 | 0.2 |
| 12.50 | 0.4 |
| 13.75 | 0.6 |
| 7.25 | 0.8 |
| 9.00 | 1.0 |

۵.۱.۲-۲- تنظیم پارامتر انتخاب تصادفی با اتوماتون های با ساختار ثابت

به منظور بررسی انعطاف پذیری «مدل های Q با



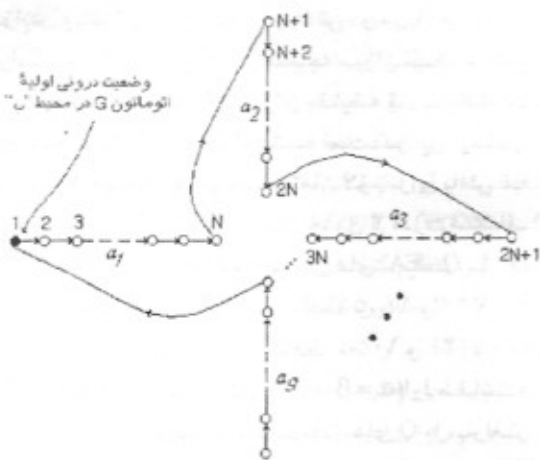
شکل (۱۲) وضعیت درونی اولیه اتوماتون FA از مدل Q-FA

ناموفق برای تغییر فعالیت انتخاب شده نیاز دارد) بسیار پایین باشد. همچنین واضح است که افزایش N در اتوماتون های با ساختار ثابت باعث افزایش زمان یادگیری وضعیت جدید در مدل های Q-K1, Q-G, Q-L, Q-K2 و Q-FA خواهد شد. باید توجه داشت که هر چند انتخاب مقادیر بزرگتر برای θ احتمال بیشتری برای یادگیری وضعیت جدید ایجاد می کند، اما انتخاب هر مقدار غیر صفر برای آن می تواند باعث کشف وضعیت جدید شود و بنابراین نسبت زمان لازم برای یادگیری یک وضعیت جدید توسط مدل Q-G با افزایش N به طور خطی افزایش پیدا خواهد کرد. لازم به ذکر است که مدل Q (با پارامتر ثابت) به طور متوسط به ۳۲.۱ و مدل Q-LRP به ۱۴.۳ واحد زمان برای یادگیری وضعیت جدید در محیط ۱۰ - ب نیاز داشته اند.

پس از مدل Q-FA مدل Q-L بیشترین نرخ تغییر پارامتر θ را خواهد داشت. با توجه به شکل ۱۳ اتوماتون L در N واحد زمان اولیه با دریافت پسخورهای ناموفق تغییری در پارامتر خواهد داد ولی از آن پس با دریافت هر پسخور ناموفق اتوماتون پارامتر θ در مدل Q-L را تغییر خواهد داد. اما مطابق شکل ۱۴ اتوماتون G برای هر تغییر در پارامتر θ نیاز به دریافت N پسخور ناموفق دارد و بنابراین مدل Q-G کمترین انعطاف را نشان داده است. از آنجایی که رفتار مدل Q-K1 در هنگام دریافت پسخورهای ناموفق معادل رفتار مدل Q-L است، نتیجه آزمایش ها بر روی این مدل مشابه مدل Q-L بوده است. با استدلال های مشابه می توان انتظار داشت که انعطاف پذیری مدل Q-K2 (که به حداقل N بار پسخور

جدول (۲) مقایسه زمان یادگیری وضعیت جدید

برای مدل های Q-LA



شکل (۱۲) وضعیت درونی اولیه اتوماتون G از مدل Q-G در محیط ۱ - ب

۵-۳-۱- مقایسه قدرت اکتشاف

در مدل های یادگیری از پارامتر انتخاب تصادفی (θ) به منظور کشف وضعیت های جدید استفاده می شود. تکنیک اکتشاف به وسیله انتخاب تصادفی فعالیت ها به تکنیک اکتشافی غیرمستقیم [14] معروف است. پیاده سازی این تکنیک اکتشافی ساده، اما غیر کارا است [11] (در [10] ثابت شده است که در این تکنیک با افزایش تعداد وضعیت ها زمان یادگیری به طور نمایی افزایش پیدا می کند). بنابراین معمولاً هنگامی که تعداد وضعیت ها زیاد است از تکنیک های اکتشافی مستقیم [7] [15] [17] استفاده می گردد. در این تکنیک ها برای اکتشاف محیط از اطلاعات آماری کسب شده در تجربیات استفاده می شود (ثابت شده است که با افزایش تعداد وضعیت ها زمان یادگیری با این تکنیک ها به صورت یک چند جمله ای درجه پایین رشد می کند). در آزمایش های انجام شده در این قسمت از یک نمونه از این مدل ها که آن را DQ می نامیم استفاده شده است [4].

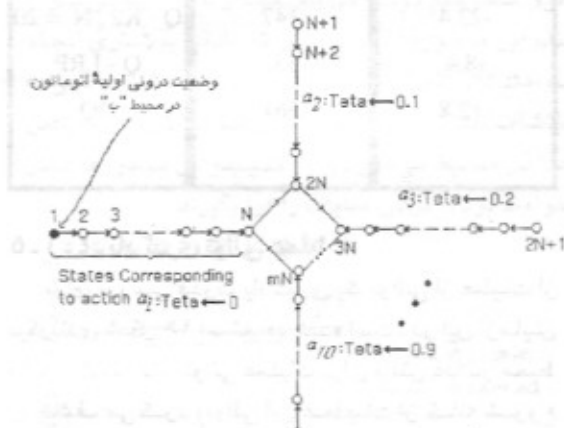
برای گنجاندن قدرت اکتشاف بیشتر در مدل های Q با پارامترهای تنظیم شونده روش محاسبه پسخور مأمورهای یادگیری تنظیم کننده پارامتر θ به صورت زیر تغییر داده شده است:

$$\text{IF } \sum_{i=1-p}^l r_i^Q > \sum_{i=T-p}^T r_i^Q \text{ THEN } r^{LA} = \max_{i=1}^l (r_i^Q) \quad (24)$$

$$\text{ELSE } r^{LA} = \min_{i=1}^l (r_i^Q)$$

شرط بالا تضمین می کنند تا در صورت عدم

| متوسط زمان لازم برای یادگیری وضعیت جدید | N | مدل |
|--|----|--------|
| 5.4 | 1 | R |
| 9.6 | 1 | Q - FA |
| 12 | 5 | Q - L |
| 18.2 | 10 | Q - L |
| 27.2 | 20 | Q - L |
| 12.8 | 5 | Q - G |
| 27 | 10 | Q - G |
| 54.4 | 20 | Q - G |
| 10.6 | 5 | Q - K1 |
| 22.3 | 10 | Q - K1 |
| 31.6 | 20 | Q - K1 |
| 39.3 | 5 | Q - K2 |
| 67.3 | 10 | Q - K2 |
| 446 | 20 | Q - K2 |



شکل (۱۳) وضعیت درونی اولیه اتوماتون L از مدل Q-L در محیط ۱ - ب

(همانطور که پیداست قدرت اکتشاف این مدل‌ها با عمق حافظه آنها نسبت عکس داشته است). در این آزمایش مدل‌های Q-LRP و DQ مناسبترین جفت قدرت اکتشاف و عملکرد را نشان داده‌اند.

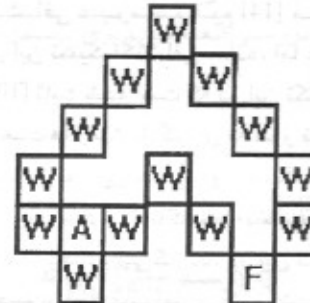
جدول (۳) مقایسه قدرت اکتشاف مدل‌ها

| نام مدل | غذا (قدرت اکتشاف) | زمان متوسط برای یافتن متوسط پسخور طی زمان اکتشاف (عملکرد) |
|-----------------|-------------------|---|
| R | 147 | -22 |
| Q | 10357 | -2.2 |
| Q-L , N = 5 | 147 | -22.6 |
| Q - L , N = 10 | 109 | -23 |
| Q - L , N = 20 | 85 | -24 |
| Q - G , N = 5 | 119 | -24.3 |
| Q - G , N = 10 | 112 | -24 |
| Q - G , N = 20 | 113 | -22.6 |
| Q - K1 , N = 5 | 39 | -25.2 |
| Q - K1 , N = 10 | 72 | -20.8 |
| Q - K1 , N = 20 | 151 | -22.4 |
| Q - K2 , N = 5 | 63 | -18.0 |
| Q - K2 , N = 10 | 113 | -22 |
| Q - K2 , N = 20 | 147 | -22.4 |
| Q - LRP | 537 | -8.4 |
| DQ | 361 | -12.8 |

۱-۴- یادگیری توالی عملیات

برای بررسی قدرت یادگیری یک توالی از عملیات از پیکربندی شکل ۱۶ استفاده شده است. در این آزمایش مأمور یادگیر باید توالی عملیات برای یافتن غذا در محیط را کشف می‌کرد (توالی این عملیات از خانه شروع عبارتند از: حرکت به بالا، به راست، به پایین و به بالا) این آزمایش به مدت ۱۰۰۰ واحد زمان برای هر مأمور شبیه سازی شده و در طول شبیه سازی هر بار مأمور به غذا رسید، دوباره در خانه شروع قرار می‌گیرد. بدیهی است که یادگیری توالی عملیات باعث افزایش عملکرد مأمور در این محیط می‌شود و در نتیجه عملکرد

افزایش بیشترین پسخور دریافتی در پریودها مقدار پارامتر تصادفی مدل (و در نتیجه میزان اکتشاف آن) پسخور کمینه دریافت کند. برای مقایسه قدرت اکتشاف از محیط شکل ۱۵ استفاده شده است. در این آزمایش قدرت اکتشاف مدل‌ها بر حسب زمان لازم برای یافتن غذا در محیط اندازه گیری شده است. جدول ۲ قدرت اکتشاف Q - L, Q - FA, Q - DQ, Q (به ترتیب با عمق های حافظه ۵، ۱۰ و ۲۰)، Q-G (به ترتیب با عمق های حافظه ۵، ۱۰ و ۲۰) و Q-LRP (با پارامترهای $\alpha = \beta = 0.1$) را مقایسه می‌کند. مقادیر پارامترهای ثابت مدل‌های Q با «پارامتر ثابت» Q و «تنظیم شده» (DQ, Q-G, Q-L, Q-FA, Q) و (Q-LRP, Q) بدنی صورت انتخاب شده‌اند: $k = 5$, $\delta = 10$, $\epsilon = 0.000001$, $p = 2$, $\lambda = 0.5$, $\gamma = 0.9$ مدل‌های Q با پارامتر ثابت (DQ) در آزمایش‌های این بخش زمان متوسط برای یافتن غذا در محیط با معدل گیری از پنج بار اجرای هر آزمایش محاسبه شده است.



شکل (۱۵) آزمایش قدرت اکتشاف

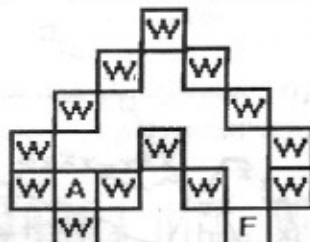
همانطور که جدول ۲ نشان می‌دهد، مدل‌های Q با پارامتر تنظیم شده توسط اتوماتون‌های با ساختار ثابت (Q-K2, Q-G, Q-L) بیشترین قدرت اکتشاف را در محیط داشته‌اند. اما متوسط پسخور دریافتی در طی زمان اکتشاف برای این مدل‌ها بسیار بایین بوده است (عملکرد این مدل‌ها حتی از مأمور تصادفی هم بدتر بوده است). در بین مدل‌های آزمایش شده عملکرد مدل Q در محیط بهترین بوده است. اما این مدل ضعیفترین قدرت اکتشاف را داشته است. در مقابل مدل‌هایی که از اتوماتون‌های با ساختار ثابت برای تنظیم پارامتر استفاده کرده‌اند، بهترین اکتشاف را داشته‌اند. اما عملکرد مناسبی را در زمان اکتشاف نمایش نداده‌اند

پارامتر (های) مدل‌ها در این آزمایش‌ها از این قرار می‌باشد: اتوماتون تنظیم کننده θ شامل ۱۰ فعالیت است که یکی از مقادیر ۰, ۰.۲, ۰.۱, ۰, ..., و ۰.۹ را برای θ انتخاب می‌کنند. اتوماتون تنظیم کننده ۴ دارای ۱۰ فعالیت برای انتخاب یکی از مقادیر ۰.۶, ۰.۴, ۰.۲, ۰, ۰.۰۰۱, ۰.۰۰۰۰۰۱, ۰.۰۰۰۰۰۰۱ و ۰.۸ برای ϵ است، اتوماتون تنظیم کننده ۵ یکی از ۵ مقدار ۰, ۱, ۰, ۳, ۲, ۱, ۰ و ۴ را برای ρ و اتوماتون تنظیم کننده ۵ یکی از ۱۰ مقدار ۱, ۵, ۱, ۱۵, ۱۰, ۵, ۱, ۴۵ را برای ς انتخاب می‌کند. در این آزمایش‌ها پارامترهای K , λ , γ تنظیم نشده‌اند و مقدار این پارامترها برای تمام مدارها ثابت و به ترتیب برابر با ۱.۵ و ۰ در نظر گرفته شده است. همچنین هر جا پارامترهای θ , ρ , ϵ و ς تنظیم نشده باشند، مقدار آنها به ترتیب برابر با ۱۰, ۰.۲, ۰.۰۰۰۰۱ و ۲۰ قرار داده شده است (این مقادیر برای آزمایش مشابهی در [10] پیشنهاد شده‌اند). مقدار period برای تمام اتوماتون‌ها برابر با ۱۰ واحد زمان در نظر گرفته شده است. در آزمایش‌های این بخش هر مدل سه بار در محیط شبیه‌سازی شده و متوسط این سه آزمایش در نمودارها و جداول آمده است.

۵.۱-۵.۱- تنظیم سایر پارامترها توسط اتوماتون‌های با ساختار متغیر

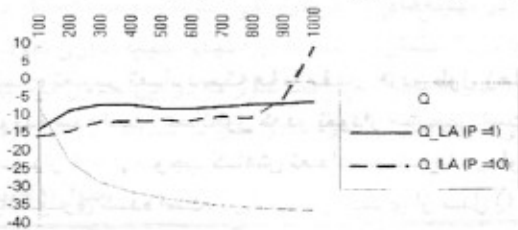
تمام اتوماتون‌های مورد استفاده در آزمایش‌های این قسمت از نوع LRP می‌باشند. در نمودار ۱۱ نحوه تغییر پسخورهای کل دریافتی از محیط در طول ۵۰۰۰ واحد زمانی برای ۱۱ مدل مختلف مقایسه شده است. مزایای تنظیم پارامتر θ قبلًا بررسی شد. با محاسبه می‌توان نشان داد که در محیط ساده با پیکربندی شکل ۹ یک مدل با پارامتر ثابت $\theta = 10$ حداقل قدر است به پسخور متوسط ۲.۸۳- برسد، اما مدلها با تنظیم θ می‌توانند در تئوری به پسخور متوسط ۰ برسند (که بهترین عملکرد ممکن در این محیط است). در نمودار ۱۱ همگرا شدن عملکرد مدل‌های Q-LRP (T), Q-LRP (RT), Q-LRP (ERT) و Q-LRP (RDT) به سمت ۰ قابل مشاهده است. گرچه افزایش تعداد پارامترها ای تنظیم شده باعث شده تا سرعت همگرایی در مدل‌های Q-LRP (RDT), Q-LRP (EDT) و Q-LRP (ERDT) تا حدودی کاهش یابد، ولی آزمایش‌ها نشان داده‌اند که این مدلها نیز با صرف زمان بیشتر عملکرد بهتری را نسبت به Q نشان می‌دهند (نمودار ۱۲ تغییرات پسخور متوسط مدل Q-LRP (ERDT) را در ۱۰۰۰ واحد زمان دنبال می‌کند).

هر مأمور در طول شبیه‌سازی می‌تواند نمایانگر میزان یادگیری توالی عملیات توسط مأمور باشد. در نمودار ۱۰ تغییرات عملکرد مدل‌های Q و (θ) آورده شده است. مقادیر پارامترها در این آزمایش مانند آزمایش بخش قبل انتخاب شده‌اند، با این تفاوت که مدل Q-LRP (θ) یک بار با مقدار period = 1 و یک بار با مقدار period = 10 در نظر گرفته شده است.



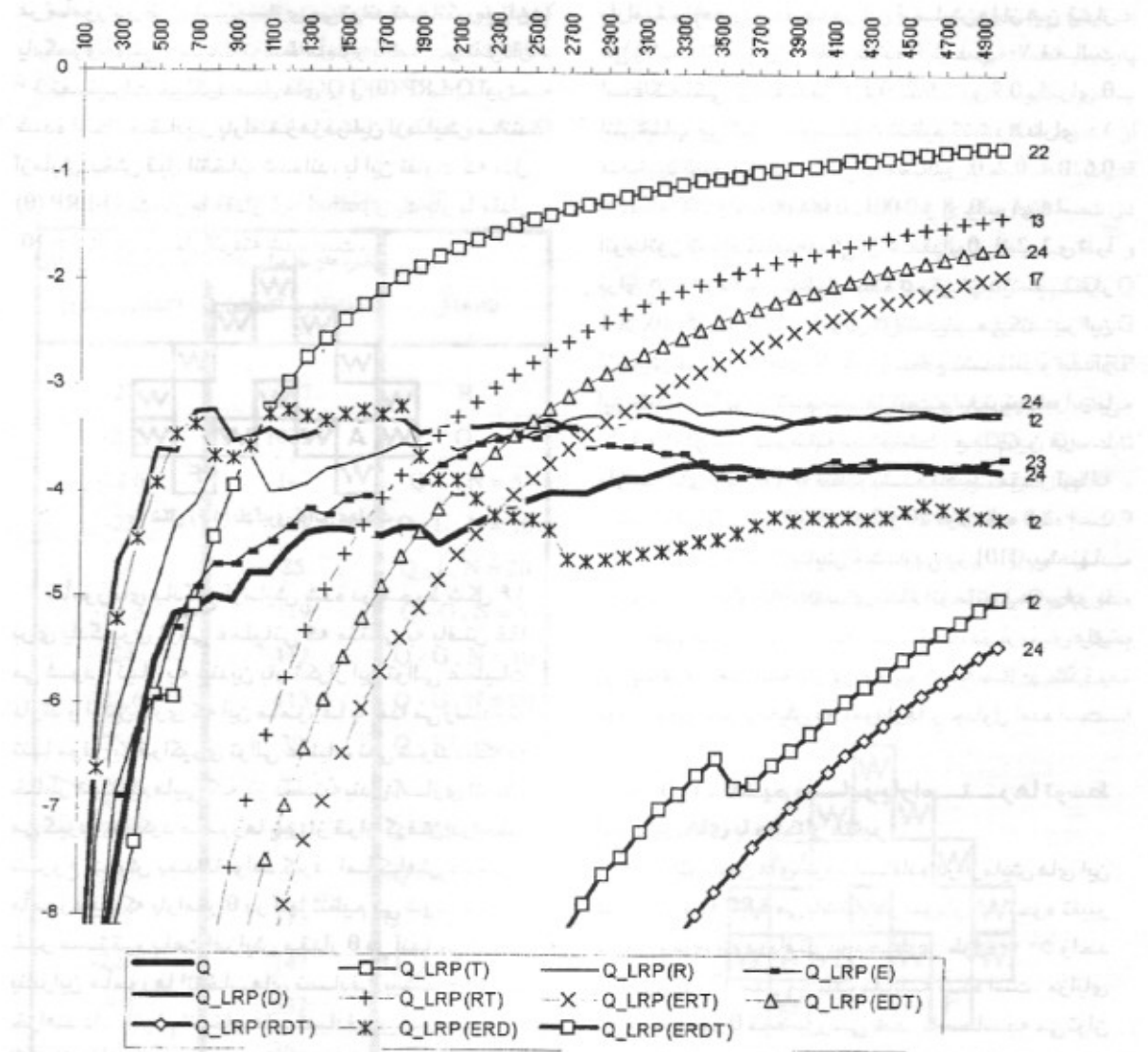
شکل (۱۶) یادگیری توالی عملیات

مأمورهای یادگیر آزمایش شده در محیط شکل ۱۶ برای یادگیری توالی عملیاتی که منتهی به یافتن غذا می‌شود، نیاز به چندین بار تکرار این توالی عملیات دارند و اولین باری که این مأمورها به غذا می‌رسند، نه تنها موفق به فراگیری توالی عملیات نمی‌شوند، بلکه به خاطر تعمیم‌هایی که در دسته بندی آماری انجام می‌گیرد، عملکرد مأمورها پس از قرار گرفتن در خانه شروع کاهش پیدا خواهد کرد. اما کاهش عملکرد مأمورهایی که پارامتر θ در آنها تنظیم می‌شود، به طور غیر مستقیم باعث افزایش مقدار θ در آنها می‌شود. بنابراین مأمورها انتخاب‌های تصادفی بیشتری انجام خواهند داد. انجام انتخاب‌های تصادفی بیشتر منتهی به اکتشاف بیشتر و در نتیجه تکرار عملیات لازم برای یافتن غذا در محیط می‌شود و در نتیجه این مأمورها قادر خواهند بود تا توالی عملیات را فرا بگیرند.



نمودار (۱۰) مقایسه قدرت یادگیری توالی عملیات

۵.۱-۵.۲- تنظیم سایر پارامترهای یادگیری پیکربندی محیط در این آزمایش‌ها همان پیکربندی شکل ۹ است. مشخصات اتوماتون‌های تنظیم کننده

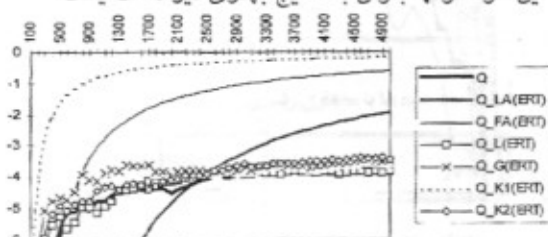


نمودار (۱۱) مقایسه تغییرات عملکرد مدل‌های مختلف در زمان

نحوه تغییر تعداد دسته‌ها با مقدار p در طول زمان آورده شده است. همانطور که در نمودار مشخص است، مقدار $p = 4$ موجب کاهش تعداد دسته‌ها در طول یادگیری شده است. در آزمایش دیگری از مدل Q با مقدار پارامتر ثابت $p = 4$ استفاده شد. در این آزمایش مدل با ۱۲ دسته به خبرگی رسیده است. نمودار ۱۲ همچنین نشان می‌دهد که مدل‌های Q -LRP (E), Q -LRP (R) و Q -LRP (D) عملکرد بهتری نسبت به مدل Q داشته‌اند.

در کنار هر کدام از متحنی‌های نمودار ۱۱ تعداد نهایی دسته‌هایی که مدل پس از خبرگی به آنها رسیده، نوشته شده است. می‌توان نشان داد که حداقل تعداد دسته‌هایی که مأمور در این محیط احتیاج دارد ۱۲ است (این دسته‌ها معنی دارترین دسته‌ها برای یادگیری این محیط را نیز تشکیل می‌دهند). همانطور که مشاهده می‌شود مدل‌هایی که پارامتر p در آنها تنظیم شده است، اکثرآ قادر به خبرگی با ۱۲ دسته شده‌اند. اما سایر پارامترها این خاصیت را نداشته‌اند. در نمودار ۱۳

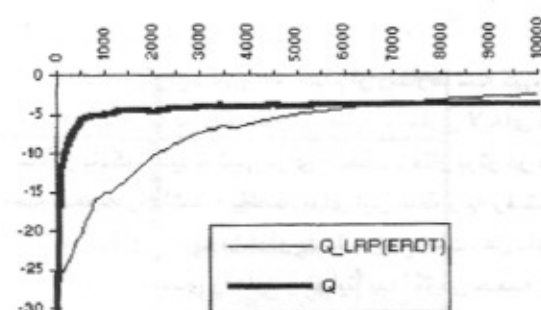
بعضی موارد به جای آنکه به مقدار ۰ همگرا شود به مقدار ۰.۱ همگرا شده است. اما با این وجود عملکرد مدل های تنظیم کننده پارامترها در اکثر موارد معادل و یا بهتر از مدل Q با پارامتر ثابت بوده است. به نظر می رسد که با در نظر گرفتن توابع بهتری برای تعیین پسخور اتوماتون های تنظیم کننده پارامترها و تنظیم عمق حافظه این اتوماتونها بتوان به نتایج بهتری نیز دست یافت.



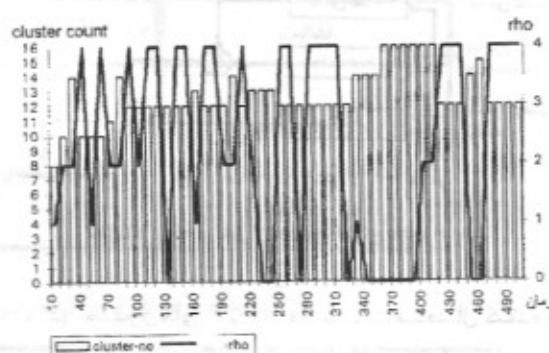
جدول (۴) مقدار نهایی θ پس از شبیه سازی نمودار ۸.

| نمودار | Q | Q-K2 | Q-K1 | Q-G | Q-L | Q-FA | Q-LRP |
|--------|---|------|------|-----|-----|------|-------|
| ۱۰ | ۰ | ۱۰ | ۱۰ | ۱۰ | ۰ | ۰ | ۰ |

در جدول ۵ تعداد دسته ها در انتهای شبیه سازی های نمودارهای ۱۴ تا ۱۶ آورده شده است. می توان نشان داد که حداقل تعداد دسته هایی که مأمور در محیط شکل ۹ احتیاج دارد ۱۲ است (این دسته ها معنی دارترین دسته ها برای یادگیری این محیط را نیز تشکیل می دهند). اما همانطور که مشاهده می شود مدل هایی که پارامترهای آنها توسط اتوماتون های با ساختار ثابت تنظیم شده است نتوانسته اند به تعداد دسته های بهینه همگرا شوند و در این مورد تنظیم پارامترها با اتوماتون های ساختار متغیر نتایج بهتری را در برداشته است.



نمودار (۱۴) مقایسه تغییرات پسخور مدل های Q و Q-LRP (ERDT).



۵-۱-۵-۲- تنظیم سایر پارامترها با اتوماتون های ساختار ثابت

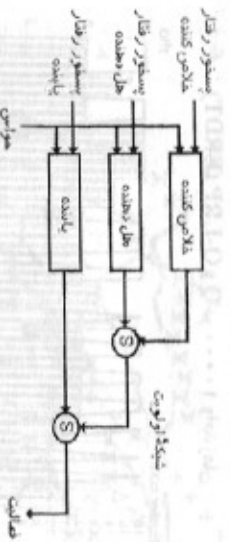
پیکربندی محیط ساده در این آزمایش ها همان پیکربندی شکل ۹ است و مقادیر ثابت و متغیر پارامترها مانند بخش قبل انتخاب شده اند. نتایج آزمایش ها در نمودارهای ۱۴ تا ۱۶ آورده شده است. نتایج آزمایش ها نشان می دهند که در بعضی موارد مدل ها نمی توانند بهترین مقادیر را برای پارامترهای تنظیم کننده پیدا کنند و در بهینه های محلی قرار می گیرند. به عنوان مثال در جدول ۴ مقدار پارامتر θ در انتهای شبیه سازی نمودار ۱۴ آورده شده است. همانطور که در این جدول ملاحظه می شود، پس از خبره شدن مدل در محیط پارامتر θ در

جدول (۵) تعداد دسته ها پس از شبیه سازی

| Q-K2 | Q-K1 | Q - G | Q - L | Q - FA | Q - LRP | Q | |
|------|------|-------|-------|--------|---------|----|-------------------------------------|
| ۳۲ | ۱۰ | ۳۲ | ۱۲ | ۳۲ | ۱۷ | ۲۲ | $\varepsilon, \rho, \theta$ |
| ۲۳ | ۱۶ | ۲۰ | ۲۱ | ۱۲ | ۱۲ | ۲۲ | $\varepsilon, \rho, \sigma$ |
| ۱۵ | ۱۱ | ۴۶ | ۲۹ | ۳۲ | ۱۲ | ۲۲ | $\varepsilon, \rho, \sigma, \theta$ |

کننده) مامور برای یادگیری هر کدام از رفتارها سه گنجی از

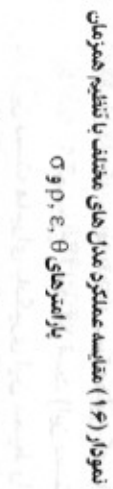
مدل یادگیری را در خود دارد. مطابق معماري لایه ای هر مامور یادگیر پایتی باید رفتار برتر در هر موضعیت را داشته باشد. برای این منظور به رفتار خلاص سازی پیشترین اولویت داده شده است، هل دادن جعبه اولویت بعدی را دارد و نهایتاً پیدا کردن جعبه ها دارای کمترین اولویت است.



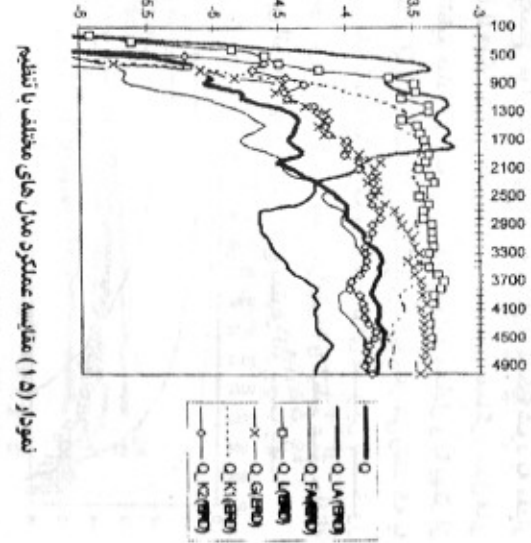
نمک (۱۷) تکنیکی از معماری لایه ای محیط جعبه ها

در جدول های ۴ تا ۱۰ قسمت فعال کننده و سپاهسگاری هر کدام از رفتارها آورده شده است [10]. تابع سپاهسگاری در واقع پسخود رفتار را توسط هر رفتار را مشخص می کند. جدول ۶ تابع سپاهسگاری رفتار یافته را مشخص می کند. همانطور که پیداست این سیاست مأمور را به روبرو شدن با اشیاء (که ممکن است جعبه باشد) تشویق می کند. رفتار یافته دارای تابع فعال کننده نیست و هرگاه رفتارهای با کننده) فعل نباشد، این رفتار فعل خواهد شد.

اولویت پیشتر (یعنی رفتارهایی هل دهنده و خلاص کننده) فعل نباشد، این رفتار فعل خواهد شد.



نمودار (۱۸) مقایسه عملکرد مدل های مختلف با توجه به معنون



نمودار (۱۹) مقایسه عملکرد مدل های مختلف با توجه به معنون

۳- محیط رفتاری (محیط جعبه ها)

مسئله هل دادن جعبه های آزمایش کلاسیک برای مقامیس رفتار مأموریت یادگیری مدل یادگیر [10] [13] در تصوره ساده این مسیله یک مدل یادگیر مأموریت دارد تا جعبه های را در یک اتاق جا بجا کند. در آزمایش های انجام شده در این بخش صامدوهای یادگیری بررسی می شوند که دارای ساختار رفتاری هستند. در [10] یک ساختار رفتاری برای مسئله هل دادن جعبه های آمده است که در اینجا عیناً از آن استفاده می شود. در این ساختار مأمور یادگیر دارای سه رفتار است:

- ۱ - رفتار یافتن جعبه (یافته)
- ۲ - رفتار هل دادن جعبه (هل دهنده)
- ۳ - رفتار خلاص کردن در صورت گیر افتادن (خلاص فعل باقی بماند).

جدول (۶) تعریف تابع سیاستگذاری برای رفتار یابنده در محیط جعبه‌ها با معماری رفتاری

| پسخور | شرط دریافت پسخور | فعالیت |
|-------|--|------------------------|
| + 300 | پس از اعمال فعالیت یک شیء در مقابل مأمور قرار گیرد | حرکت به جلو |
| -100 | پس از اعمال فعالیت شیئی در مقابل مأمور نباشد | حرکت به جلو، تغییر جهت |
| 0 | - | حرکت به جلو، تغییر جهت |

جدول (۷) تعریف تابع سیاستگذاری برای رفتار هل دهنده در محیط جعبه‌ها با معماری رفتاری

| پسخور | شرط دریافت پسخور | فعالیت |
|-------|--|------------------------|
| + 300 | پس از اعمال فعالیت یک شیء در مقابل مأمور قرار گیرد | حرکت به جلو |
| -100 | پس از اعمال فعالیت شیئی در مقابل مأمور نباشد | حرکت به جلو، تغییر جهت |
| 0 | - | حرکت به جلو، تغییر جهت |

جدول (۸) تعریف تابع فعال گننده رفتار هل دهنده در محیط جعبه‌ها با معماری رفتاری

| طروجی | نتیجه | شرط |
|-------|---|----------------------------|
| TRUE | Pusher-history = 5 | یک شیء در مقابل مأمور باشد |
| TRUE | pusher - history = pusher - history - 1 | pusher - history > 0 |
| FALSE | - | هیچکدام از موارد بالا |

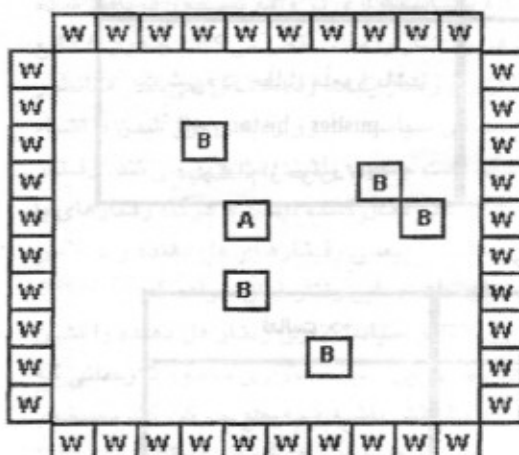
جدول (۹) پسخور خلاص گننده

| پسخور | شرط دریافت پسخور | فعالیت |
|-------|-----------------------|------------------------|
| + 100 | مکان مأمور تغییر نکند | حرکت به جلو |
| - 300 | مکان مأمور تغییر نکند | حرکت به جلو، تغییر جهت |
| 0 | - | حرکت به جلو، تغییر جهت |

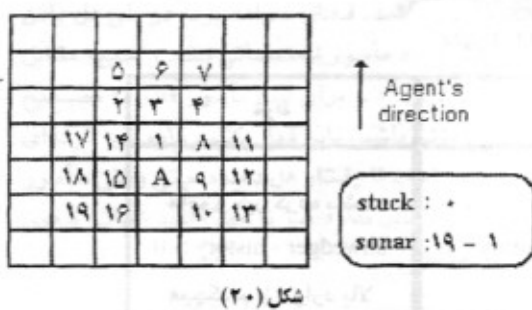
جدول (۱۰) تابع فعال گننده رفتار هل دهنده

| طروجی | نتیجه | شرط |
|-------|---|------------------------|
| TRUE | unwedger-history = 5 | مأمور گیر کرده باشد |
| TRUE | unwedger - history = unwedger - history - 1 | unwedger - history > 0 |
| FALSE | - | هیچکدام از موارد بالا |

فعالیت حرکت به جلو می‌تواند جعبه‌ها را در محیط جایگزین کند. این جایگزایی وقتی اتفاق می‌افتد که یک جعبه در راستای حرکت مأمور قرار داشته باشد و خانه‌ای که جعبه به طرف آن هل داده می‌شود، خالی باشد. همچنین حواس مأمور یادگیر در این محیط شامل بیت ۲۰ می‌باشد. اولین بیت زمانی یک می‌شود که مأمور یادگیر «گیر» بیفتد. این زمانی است که مأمور فعالیت حرکت به جلو را انتخاب کند، اما تغییر مکان ندهد (به عبارتی در راستای حرکت مأمور یا جعبه‌ای که هل می‌دهد شیئی قرار گرفته باشد). ۱۹ بیت دیگر هر کدام به خانه‌ای در اطراف مأمور اشاره می‌کنند. هر زمان که در خانه‌ای که یک بیت به آن اشاره می‌کند، شیئی قرار داشته باشد آن بیت یک شود. در شکل ۲۰ مکانهایی که بیتها به آن اشاره می‌کنند، مشخص شده است. در آزمایش‌های این بخش هر مدل سه بار در محیط شبیه سازی شده و نتیجه شبیه سازی با عملکرد متوسط در نمودارها و جدول‌ها استفاده شده است.

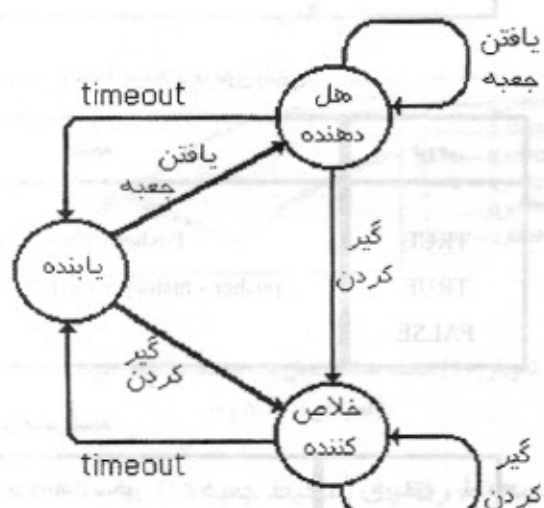


شکل (۱۹)



شکل (۲۰)

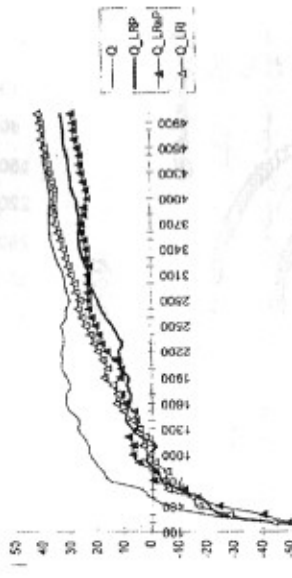
تابع سیاستگزاری رفتار خلاص کننده در جدول ۹ آورده شده است. این تابع هرگاه مأمور گیر افتاده باشد، پسخوری منفی ایجاد خواهد کرد. گیر افتادن مأمور در حالتی است که مأمور فعالیت حرکت به جلو را انتخاب کند، اما تغییر مکان ندهد (مقدار مشخصه‌های "x" و "y" مأمور ثابت بماند). تابع سیاستگزاری هر وقت مأمور از این حالت خارج شود، پسخور مثبت ایجاد خواهد کرد. تابع فعال کننده رفتار خلاص کننده (جدول ۱۰) تا زمانی که مأمور گیر افتاده باشد فعال می‌ماند. این تابع نیز مانند تابع فعال کننده هل دهنده تا مدت زمان معینی پس از خلاص شدن مأمور فعال باقی می‌ماند. شکل ۱۸ چکونگی جریان فعال شدن هر رفتار را در معماری لایه‌ای محیط جعبه‌ها را خلاصه کرده است. در ضمن نحوه عملکرد حواس در این محیط دقیقاً مانند محیط ساده (جدول ۲) است.



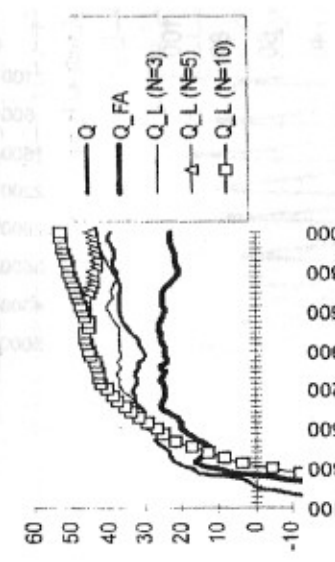
شکل (۱۸) جریان فعال شدن رفتارها

پیکربندی اولیه محیط در آزمایش‌هایی که ارائه خواهد شد، مطابق شکل ۱۹ می‌باشد. در این پیکربندی مربعهایی که در آنها حرف (B) قرار گرفته است نمایانگر جعبه، مربعهایی که در آنها حرف (W) قرار گرفته نمایانگر دیوار و مربعی که در آن حرف (A) قرار دارد نشان دهنده مأمور می‌باشد. مأمور یادگیر در این آزمایش‌ها مجهز به فعالیت‌های تغییر جهت به راست (به اندازه ۹۰ درجه)، تغییر جهت به چپ (به اندازه ۹۰ درجه) و حرکت به جلو است. مأمور یادگیر با اعمال

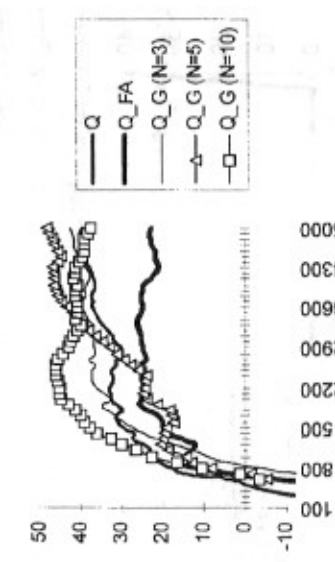
هدف معصاری رفتاری این است که با شکستن یک بودن حواس مأمور می‌تواند بهتر از جستجوی قانونمند باشد. نمودارهای ۲۳ و ۲۴ نشان می‌دهند که مقدار پارامتر θ برای رفتارهای هل دادن چوبه و خلاص کردن اکثر صفر باقی مانده است که این امر باقی به ساده بودن یادگیری این دو رفتار قابل توجه است.



نمودار(۱۷)



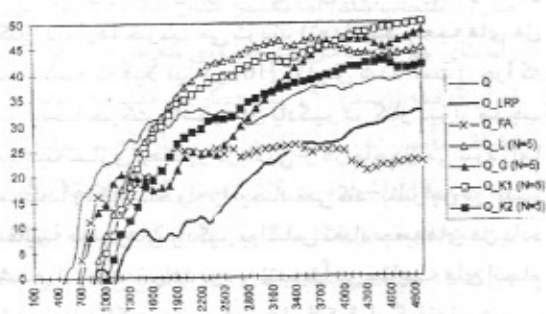
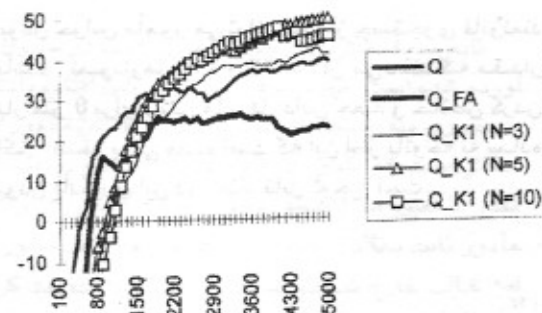
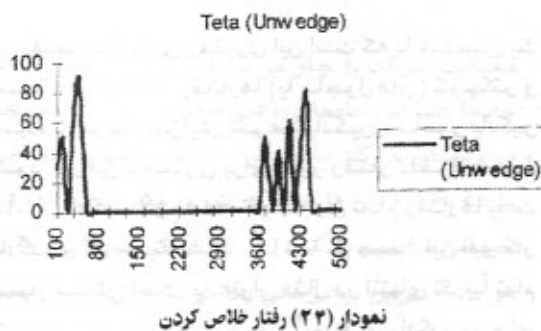
نمودار(۱۸)



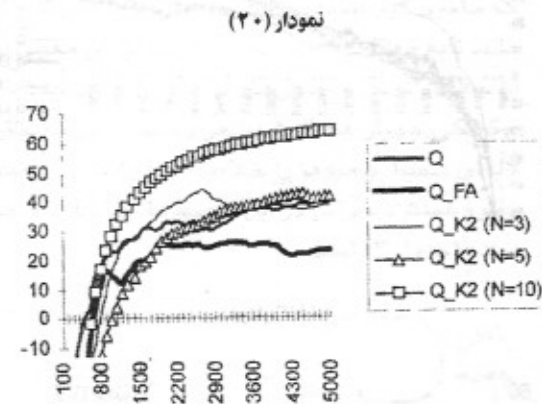
نمودار(۱۹)

هدف معصاری رفتاری این است که با شکستن یک مسئله بچیده به رفتارها (یا ماجول‌های) کوچک‌تر و سازنده تر موجب افزایش سرعت یادگیری مأمور یادگیر شود. در این معصاری برای بروز رفتار دلخواه موسط مأمور یادگیر لازم است تا یادگیری تمام رفتارها باعث یادگیری کل مسئله شود. اما تحقیق صحت این امر کار بسیار مشکلی است. به عنوان مثال در انتهای تقریباً تمام شبیه سازی‌های این محیط مأمورهای یادگیر به جای آنکه بیشتر وقت خود را به دادن چوبه های بدرازد، در کنار دیوارها حرکت می‌کرند (تعداد کم جعبه های هل داده شده که قبل از نیز در [10] گزارش شده است). جرا که در اینجا حرکت مأمورهای یادگیر در کنار دیوارهای موجب بیشینه سازی پسخورد دریافتی از هر ماجول می‌شود، اما مسلماً رفتار دلخواه را بیجان نمی‌کند. بنابراین در اینجا مقایسه مأمورهای یادگیر براساس تعادل چوبه های هل داده شده نادرست خواهد بود و تبیین در مقایسه های انجام شده تنها علاوه بر نهایی مأمورها ملک قرار گرفته است.

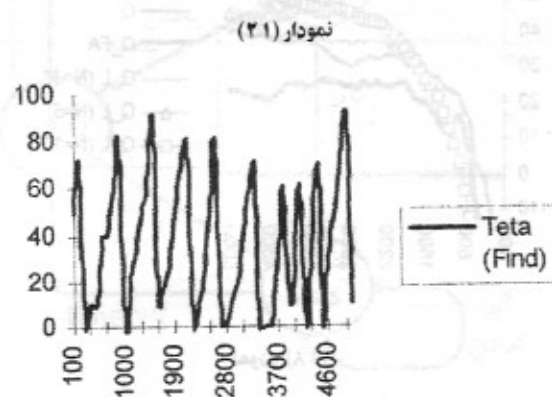
نمودارهای ۲۱ تا ۲۴ تغییرات عملکرد مدل های مختلفی که تنها پارامتر θ در آنها تنظیم شده است، را نشان می‌دهد. در نمودار ۲۱ تغییرات عملکرد مدل هایی که از اتوماقون های با ساختار متغیر (LRP, LRP) و (LReP, LRP) (LRI) برای تنظیم پارامتر θ استفاده کرده اند، اورده شده است و در نمودارهای ۲۱ تا ۲۴ به ترتیب تغییرات K2, K1, G, L و Q مدل هایی که از اتوماقون های ۱۸ تا ۲۱ به ترتیب عملکرد مدل هایی که از اتوماقون های ۱۸ تا ۲۱ به ترتیب تغییرات با این نمودارهای عملکرد هر آورده شده است. در هر یک از این نمودارها عملکرد مدل با عملکرد مدل Q (بدون تنظیم پارامتر) مقایسه شده اند. همانطور که نمودار ۲۱ نشان می‌دهد استفاده از اتوماقون هایی با ساختار متغیر در تنظیم پارامتر θ باعث کاهش عملکرد مدل شده است. اما نمودارهای ۲۲ تا ۲۵ نشان می‌دهند که اتوماقون های ساختار ثابت عملکرد مسوغی در تنظیم پارامتر θ داشته اند (در نمودار ۲۵ عملکرد اتوماقون های ساختار ثابت و متغیر در تنظیم پارامتر θ با یادگیر مقایسه شده اند). نمودارهای ۲۲، ۲۳ و ۲۴ به ترتیب تغییرات پارامتر θ برای هر کدام از رفتارهای یافته، هل دادن و خلاص کردن را در مدل Q -L را نشان می‌دهد. همانطور که در نمودار ۲۲ مشخص است مقدار θ برای رفتار پیدا کردن چوبه های طول زمان شبیه سازی در نوسان بوده است، این امر متناسبی به جستجوی تصاویری جعبه های توسط مأمور می‌شود و این نوع جستجو احتمالاً باقی به محدود



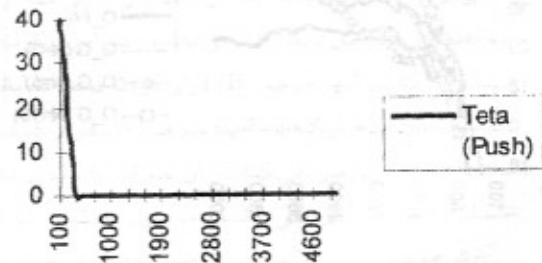
نمودار (۲۵) مقایسه عملکرد مدل های مختلف در تنظیم پارامتر انتخاب تصادفی



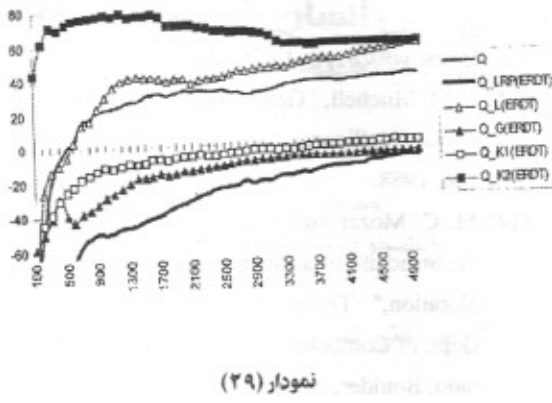
در نمودارهای ۲۶ تا ۲۹ عملکرد مدل هایی که از اتوماتون های ساختار ثابت (K_1 , G , L) و متغیر (Q-LRP) برای تنظیم همزمان چند پارامتر استفاده می کنند با مدل Q مقایسه شده است. همانطور که ملاحظه می شود عملکرد مجهرز به اتوماتون های با ساختار ثابت اکثراً بهتر از مدل های Q-LRP بوده است. برتری تنظیم پارامترها با ساختار متغیر بخصوص در نسبت به اتوماتون های با ساختار متغیر بخصوص در مواردی که یکی از پارامترهای تنظیم شده ۰ باشد (نمودارهای ۲۶، ۲۸ و ۲۹) مشهودتر است. همچنین عملکرد مدل Q-K1 در نمودارهای ۲۶ و ۲۹ و عملکرد مدل Q-G در نمودار ۲۹ نشان می دهد که در این محیط نیز احتمال گرفتار شدن مدل ها در بهینه های محلی وجود دارد. آزمایش هایی که برای تنظیم ترکیبات مختلف پارامترهای مدل Q در این محیط انجام گرفته است، نشان می دهد که تنظیم پارامترهای δ , ρ و ϵ (به ترتیب از راست به چپ) موجب بیشترین افزایش ها در عملکرد



نمودار (۲۷) رفتار یافتن جعبه



نمودار (۲۸) رفتار هل دادن جعبه



نمودار (۲۵)

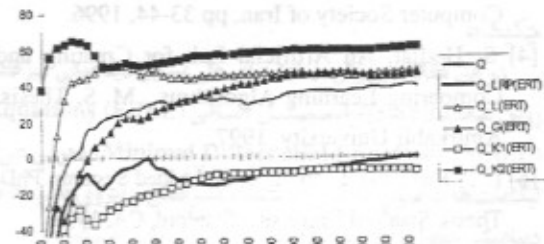
۷- معتبرنده

مدل یادگیری Q دارای پارامترهای متعددی است و عملکرد بهینه این مدل به انتخاب مناسب این پارامترها بستگی دارد. مقادیر این پارامترها معمولاً با سعی و خطا و توسط طراح مدل انتخاب می‌شوند و در طول یادگیری بدون تغییر باقی می‌مانند. با تنظیم خودکار پارامترهای مدل یادگیری Q نه تنها مشکلات استفاده از روش‌های تجربی و سعی و خطا در یافتن مقادیر بهینه این پارامترها از بین می‌رود بلکه انعطاف پذیری بیشتری به مدل به منظور برخورد با یک محیط ناشناخته جدید می‌دهد. در این مقاله استفاده از اتوماتون‌های یادگیر با ساختار متغیر یا با ساختار ثابت برای تعیین و تنظیم پارامترهای مدل یادگیری Q مورد بررسی قرار گرفت. آزمایشات نشان می‌دهند که تنظیم پارامترها توسط این روش باعث افزایش عملکرد، انعطاف پذیری، نتایج اکتشاف و یادگیری توالی عملیات می‌گردد. نتایج آزمایشات نشان می‌دهند که تنظیم پارامترها توسط اتوماتون‌های با ساختار ثابت تقریباً در تمام موقعیت نتایج بهتری نسبت به مدل کلاسیک (با پارامترهای ثابت) و مدلی که در آن از اتوماتون‌های با ساختار متغیر برای تنظیم پارامترها استفاده شده نشان می‌دهد.

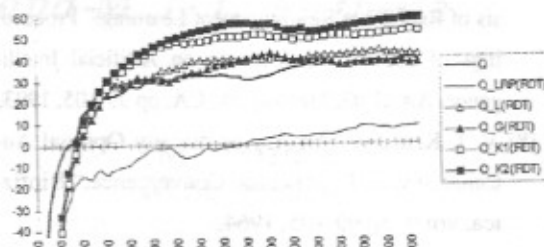
زیرنویس‌ها

- 1 - Reinforcement Learning
- 2 - Feedback
- 3 - Statistical Clustering
- 4 - Linear - Reward - Inaction
- 5 - Linear - Reward - Penalty
- 6 - Linear - Reward - Epsilon Penalty
- 7 - Absorbing State

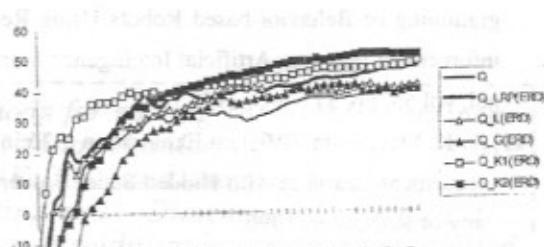
مأمور شده‌اند. این در حالی است که در محیط ساده‌ای که در بخش قبل شرح داده شد تنظیم پارامتر θ بیشترین سهم را در افزایش عملکرد مأمور را ایفا می‌کرد و تنظیم پارامترهای دیگر تأثیر چندانی در عملکرد مأمور نداشتند. همچنین برخلاف نتایج آزمایش‌های انجام شده در محیط ساده بخش قبلی، تنظیم پارامترهای β و δ در این محیط موجب تفاوت چندانی در تعداد دسته‌های نهایی نشده‌اند. بنابراین به نظر می‌رسد که تنظیم پارامترها در محیط‌های مختلف نتایج متفاوتی را در بردارد.



نمودار (۲۶)



نمودار (۲۷)



نمودار (۲۸)

مراجع

- [1] A. G. Barto, S. J. Bradthe and S. P. Singh, "Learning to Act Using Real-time Dynamic Programming", Artificial Intelligence, vol 72 (1), pp 81-138, 1995.
- [2] M. Dorigo and H. Bersini, "A Comparison of Q learning & Classifier Systems," Proceedings of from Animate to Animals, International Conference on Simulation of Adaptive Behavior, SAB 1994.
- [3] S. Hodjat and M. R. Meybodi, "Fine Tuning of Q-learning Parameters Using Learning Automata," Proceedings of Second Annual Conference of Computer Society of Iran, pp 33-44, 1996.
- [4] S. Hodjat, An Artificial Lab for Creating and Comparing Learning Algorithms , M. S. Thesis, Amirkabir University, 1997.
- [5] L. P. Kaelbling, Learning in Embedded Systems, PhD. Thesis, Stanford University, Stanford, CA, 1990.
- [6] L. P. Kaelbling, M.L. Littman and A.W. Moore, Reinforcement Learning, Artificial Intelligence Journal," Vol4, PP. 237-285, 1996.
- [7] S. Koenig and R. G. Simmons. "Complexity Analysis of Real Time Reinforcement Learning," Proceedings of Eleventh Conference on Artificial Intelligence, AAAI-93, Menlo-park, CA, pp 99-105, 1993.
- [8] V. I. Krinsky, "An Asymptotically Optimal Automaton with Exponential Convergence," Biofizika, vol 9, pp 99-105, 1964.
- [9] V. Yu. Krylov, "On Stochastic Automaton which is Asymptotically Optimal in Random Medium," Automata and Remote Control, vol 24, pp. 1114-16, 1964.
- [10] S. Mahadevan and J. Connell, "Automatic Programming of Behavior-based Robots Using Reinforcement learning, Artificial Intelligence Journal, vol 55, pp. 311-365, 1992.
- [11] A. K. McCallum, Efficient Exploration in Reinforcement Learning with Hidden State, University of Rochester, 1996.
- [12] M. R. Meybodi and S. Lakshmicarahan, "e - Optimality of a General Class of Obsorbing Barrier Learning Algorithms," Information Sci-ences, vol 28, pp. 1 - 20, 1982.
- [13] T. M. Mitchell, "Generalization as Search," Artificial Intelligence Journal, vol 18 (2), pp. 203-226, 1988.
- [14] M. C. Mozer and J. R. Bacjrac, Discovering the Structure of a Reactive Environment by Exploration," Technical Report. CU-CS-451-8, Dept. of Computer Science, University of Colorado, Boulder, November 1989.
- [15] M. Sato, K. Abe and H. Taheda, "Learning Control of Finite Markov Chains with an Explicit Trade off Between Estimation and Control," IEEE Transactions on Systems, Man and Cybernetics, vol 18 (5), September 1988.
- [16] R. Schalkoff, Pattern Recognition, Wiley International Editions, 1991.
- [17] S. B. Thrun, The Role of Exploration in Learning Control, In Handbook of Intelligent Control: Neuro, Fuzzy and Adaptive Approaches, Nostrand Reinhold, 1992.
- [18] M. L. Tseltsin, On the Behavior of Finite Automata in Random Media: Automata and Remote Control, vol 22, pp. 1345-54, 1962.
- [19] C. Watkins, Learning from Delayed Rewards, PhD. Thesis, Kings College, USA, 1989.
- [20] S. D. Whitehead, "Complexity and Cooperaion in Q Learning," Proceedings of the Eighth International Workshop on Machine Learning, San Mateo, CA, Morgan Kaufmann, pp. 363-367, 1991.
- [21] S. Hodjat and M. R. Meybodi, "Automatic Tuning of Q - Learning Parameters Using Game of Automata," Proceedings of Third Annual Conference of Computer Society of Iran, pp. 33-48, 1997.
- [22] S. Hodjat and M. R. Meybodi, Tuning of Q- Learning Parameters Using Fixed Structure Automata, Proceedings of Third Annual Conference of Computer Society of Iran, pp. 1 - 16, 1997.
- [23] k. S. Narendra and M. A. L. Tatachar, Learning Automata, Prentice Hall, Englewood cliffs, 1989.

Amirkabir
Journal of Science & Technology
Vol. 9. No. 36, Winter 1998.
ISSN. 1015-0951